

## СПИНОВАЯ ЖИДКОСТЬ В ПОЧТИ АНТИФЕРРОМАГНИТНОЙ РЕШЕТКЕ КОНДО

К. А. Кикоин, М. Н. Киселев, А. С. Мищенко

*Российский научный центр «Курчатовский институт»  
123182, Москва, Россия*

Поступила в редакцию 2 января 1997 г.

Построена теория стабилизации спиновой жидкости в решетке Кондо при температурах, близких к температуре антиферромагнитной неустойчивости. Показано, что обменное рассеяние электронов проводимости кондовского типа приводит к тому, что вместо антиферромагнитного состояния в решетке возникает состояние спиновой жидкости типа резонирующих валентных связей (RVB) при  $T > T_K$ . В силу этой стабилизации низкоэнергетические процессы кондо-рассеяния с энергиями меньше  $T_K$  замораживаются, так что «синглетное» состояние кондо-решетки не возникает, а вместо него при низких температурах развивается сильно коррелированная спиновая жидкость с развитыми антиферромагнитными флуктуациями. Для описания элементарных возбуждений в кондо-решетке развит новый вариант диаграммной техники, позволяющий описывать взаимодействие спиновых флуктуаций и резонирующих валентных связей самосогласованным образом. Рассмотрены механизмы возникновения сильно анизотропной спиновой жидкости RVB-типа.

### 1. ВВЕДЕНИЕ

Одно из самых удивительных свойств соединений с тяжелыми фермионами — это превращение системы слабо взаимодействующих локализованных спинов, определяющих их парамагнитный отклик при высоких температурах,  $T > T^*$ , в сильно коррелированную квантовую жидкость с термодинамикой и магнитными свойствами, характерными скорее для ферми-систем при  $T < T_{coh} \ll T^*$ . Это «растворение» локализованных спинов обычно интерпретируется в рамках модели решетки Кондо, и основным механизмом, определяющим температурную трансформацию спиновой подсистемы, считается кондовское экранирование спинов электронами проводимости, причем механизм этого экранирования практически без изменений переносится на решетку с однопримесной задачи, так что решетка Кондо рассматривается как периодическая структура кондо-примесей, когерентно рассеивающих электроны проводимости (см., например, [1, 2]). В этой модели в качестве характерной температуры смены режима  $T^*$  выступает температура Кондо  $T_K$ , а основным состоянием системы в приближении среднего поля оказывается так называемый кондо-синглет.

Такая простая картина, однако, оставляет без внимания спиновые корреляции, тесная связь которых с явлением тяжелых фермионов неоспорима: хорошо известно, что их формирование во всех без исключения случаях связано с возникновением либо дальнего антиферромагнитного порядка, либо короткодействующих магнитных корреляций. Для объяснения этой связи теория кондо-решетки обращается к косвенному обменному взаимодействию между локализованными спинами через электроны проводимости (РККИ-обмену), которое возникает в решетке Кондо уже во втором порядке тео-

рии возмущений. Нелокальные спиновые корреляции, таким образом, конкурируют с локальными эффектами спинового экранирования [3]. Наивная дихотомия Доньяха, возникающая в приближении среднего поля, предсказывает преобладание тенденции к антиферромагнитному порядку при малых значениях эффективной константы связи

$$\alpha = J_{sf} \mathcal{N}(\varepsilon_F) \Omega_0,$$

где  $J_{sf}$  — интеграл  $sf$ -обмена,  $\mathcal{N}(\varepsilon_F)$  — плотность электронных состояний на поверхности Ферми,  $\Omega_0$  — объем элементарной ячейки. При больших значениях  $\alpha$  кондовское экранирование подавляет магнитный момент, и основным состоянием системы является кондо-синглет. Тогда при  $\alpha$ , слегка превышающих критическое значение  $\alpha_c$ , определяемое соотношением  $\alpha_c^2 \exp(1/2\alpha_c) \approx 1$ , РККИ-взаимодействие учитывается по теории возмущений и магнитные корреляции модифицируют поведение синглетной фазы (см., например, [4, 5]).

Альтернативный подход к проблеме конкуренции одноузельного экранирования и межузельных магнитных корреляций был предложен в [6]. К двум возможным, предлагаемым простой картиной Доньяха в этой работе была добавлена третья — образование немагнитной спиновой жидкости типа резонирующих валентных связей (resonating valence bonds, RVB) с ферми-статистикой элементарных возбуждений в спиновой подсистеме (спинов). Было показано, что состояние спиновой жидкости стабилизируется кондо-рассеянием, но при этом и межузельные спиновые корреляции, и одноузельное  $sf$ -обменное взаимодействие между спинами и электронами рассматривались в приближении среднего поля. Введение аномальных одноузельных средних кондовского типа в действительности означает предположение о том, что имеет место полное динамическое экранирование спина, а предположение об образовании синглетов Кондо на каждом узле в результате многократного «переключения» RVB-связей между локализованными спинами и спинами электронов проводимости фактически означает перенос заряда электронов на спиновые степени свободы. Таким образом, в рамках этого сценария, как и в среднеполевой теории решетки Кондо [7], спиновые степени свободы, которые при высоких температурах проявлялись в виде слабых парамагнитных корреляций, не несущих заряда, при  $T < T_K$  приобретают заряд и превращаются в заряженные тяжелые фермионы (критическое обсуждение этого сценария см. в [8]). Естественно, что и в этом случае для объяснения существования магнитных корреляций в решетке Кондо требуются дополнительные теоретические усилия [9].

В настоящей статье предлагается альтернативный сценарий формирования спиновой жидкости в решетке Кондо, описываемой гамильтонианом

$$H_{eff} = \sum_{\mathbf{k}\sigma} \varepsilon_{\mathbf{k}} c_{\mathbf{k}\sigma}^+ c_{\mathbf{k}\sigma} + J_{sf} \sum_i \left( \mathbf{s}_i \mathbf{S}_i + \frac{1}{4} \right). \quad (1)$$

Здесь  $\varepsilon_{\mathbf{k}}$  — закон дисперсии электронов проводимости,  $\mathbf{S}_i$  и  $\mathbf{s}_i = \frac{1}{2} c_{i\sigma}^+ \hat{\sigma} c_{i\sigma'}$  — операторы соответственно спина, локализованного в  $f$ -оболочке, и делокализованного спина электрона проводимости,  $\hat{\sigma}$  — матрицы Паули. Наш подход основан на понимании того обстоятельства, что в критической области, когда все три характерные температуры (температура Кондо  $T_K \sim \varepsilon_F \exp(-1/2\alpha)$ , температура Нееля  $T_N \sim \varepsilon_F \alpha^2$  и температура перехода в состояние спиновой жидкости  $T^*$ ) одного порядка и кондовское рассеяние способствует переходу в состояние спиновой жидкости, так что  $T^* > T_N > T_K$ , сам факт возникновения спин-жидкостных корреляций препятствует формированию

синглетного основного состояния, поскольку процесс экранирования локализованных спинов кондо-рассеянием фактически замораживается при температурах  $T \sim T^* > T_K$ , и при дальнейшем понижении температуры магнитные свойства системы определяются скорее нелокальными спин-жидкостными корреляциями, чем одноузельным кондо-рассеянием. Иными словами, спиновые корреляции подавляют эффект Кондо как в упорядоченной (магнитной), так и в неупорядоченной (спин-жидкостной) фазе, и потому простая фазовая диаграмма Доньяха должна быть пересмотрена.

В силу того что состояние спиновой жидкости возникает в критической области  $\alpha \sim \alpha_c$  при температурах, близких к  $T_N$ , факт сосуществования тяжелых фермионов и магнитных корреляций в этой картине получает естественное объяснение. Кроме того, вполне очевидно, что критические спиновые флуктуации должны играть существенную роль в механизме формирования спиновой жидкости. В данной работе мы ограничиваемся областью высоких температур,  $T > T_K$ , где справедлива теория возмущений по параметру  $\alpha \ln(\varepsilon_F/T_K)$ . Мы будем использовать диаграммную технику для спиновых операторов в псевдофермионном представлении [10] в приближении диаграмм без пересечений (noncrossing approximation, NCA) для описания кондо-рассеяния. Результаты высокотемпературных разложений, учитывающих совместно одноузельные и межузельные корреляции, будут экстраполированы в область температур, где парамагнитные флуктуации становятся существенными. Однако при использовании техники псевдофермионов для описания нелокальных спин-жидкостных корреляций возникает проблема нефизических состояний и, как следствие, нарушения локальной спиновой симметрии [11–15]. Имея в виду это обстоятельство, мы построили диаграммную технику для спиновых гамильтонианов, в принципе позволяющую не только исключать нефизические состояния, но и учитывать флуктуации калибровочных полей. В разд. 2 с помощью этой техники рассматривается спиновая жидкость типа однородной RVB-фазы [16, 17] в рамках модели Гейзенберга, в разд. 3, где этот метод применяется к решетке Кондо, описан механизм стабилизации RVB-фазы кондо-рассеянием в обычном приближении среднего поля<sup>1)</sup>. Обобщение теории среднего поля для RVB-фазы, учитывающее критические флуктуации, проведено в разд. 4, а в разд. 5 показывается, как с помощью этой диаграммной техники могут быть описаны локальные критические и гидродинамические флуктуации вблизи точки антиферромагнитной неустойчивости.

## 2. ПРОЕКЦИОННАЯ ДИАГРАММНАЯ ТЕХНИКА ДЛЯ РЕШЕТКИ ГЕЙЗЕНБЕРГА

Наряду со стандартными методами многочастичной теории возмущений, разработанными для ферми- и бозе-операторов, в литературе имеется несколько вариантов диаграммных техник для некоммутирующих операторов, в терминах которых записываются гамильтонианы для спиновых или сильно коррелированных электронных систем (см., например, [19–21] и цитированную в них литературу). Большинство из этих методов основано на использовании проекционных операторов Хаббарда  $X_j^{\lambda\mu} = |j\lambda\rangle\langle j\mu|$ , где  $|j\lambda\rangle$  — кет-вектор, отвечающий состоянию атома  $\lambda$  в узле  $j$ , а гамильтониан нулевого приближения теории возмущений диагонален в этом представлении. Диаграммные методы для некоммутирующих операторов гораздо менее удобны в обращении, чем стандартная фейнмановская техника. Они лишь в некоторых случаях допускают самосо-

<sup>1)</sup> Предварительные результаты этого описания были представлены в кратком сообщении [18].

гласованную запись замкнутых систем уравнений для скелетных диаграмм. Процедура Годена, факторизующая среднее от  $n$  операторов, в отличие от процедуры Вика, играющей ту же роль в обычной технике, страдает неоднозначностью, и удачный выбор иерархии спариваний в значительной мере определяется интуицией вычислителя (см., например, [22]).

В силу этих причин естественно попытаться представить операторы Хаббарда (и спиновые операторы, являющиеся частным случаем этих операторов) в виде произведений ферми- и бозе-операторов, и тем самым восстановить возможность использования инструментария фейнмановской или мацубаровской техники. Такие попытки предпринимались множество раз, начиная с 60-х годов [10, 23–25] вплоть до последнего времени [22, 26–28]. Ясно, однако, что и эти процедуры ни в коей мере не являются универсальными или однозначными. Кроме того, любая факторизация приводит к размножению и усложнению вершин и появлению локальных констрейнтов, введение которых необходимо для сохранения локальной калибровочной инвариантности, присущей данному гамильтониану.

Дополнительные трудности возникают при попытке описания нелокальных спинжидкостных возбуждений типа RVB. В этом случае проблемы возникают уже на уровне приближения среднего поля для собственно-энергетической части одночастичного пропагатора. Использование обычных приемов самосогласованной теории возмущений приводит к нарушению локальной калибровочной инвариантности [11], и ее восстановление представляет собой весьма сложную физическую и математическую проблему [13, 14].

В этом разделе мы сформулируем вариант диаграммной техники, объединяющий два вышеупомянутых подхода, применительно к гамильтонианам, обладающим локальной  $SU(2)$ -симметрией. Имея в виду использование этой техники для описания спиновой жидкости в рамках гамильтониана (1), мы начнем с более простого случая гамильтониана Гейзенберга для спина  $1/2$  с антиферромагнитным взаимодействием,

$$H = h \sum_i S_i^z + J \sum_i \sum_j \binom{nn}{j} \left( S_i S_j - \frac{1}{4} \right), \quad (2)$$

а затем перейдем к описанию решетки Кондо при высоких температурах,  $T > T_K$ , когда справедливо приближение NCA и система может рассматриваться как периодическая решетка независимых кондо-рассеивателей, взаимодействующих по механизму РККИ [3].

Введем представление псевдофермионов [10] для спиновых операторов

$$S^+ = f_{\uparrow}^+ f_{\downarrow}, \quad S^- = f_{\downarrow}^+ f_{\uparrow}, \quad S^z = \frac{1}{2} (f_{\uparrow}^+ f_{\uparrow} - f_{\downarrow}^+ f_{\downarrow}). \quad (3)$$

Эти операторы подчиняются условию локального констрейнта на каждом узле

$$n = f_{\uparrow}^+ f_{\uparrow} + f_{\downarrow}^+ f_{\downarrow} = 1. \quad (4)$$

Первый член в (2) описывает зеемановское расщепление в бесконечно малом магнитном поле  $h = g\mu_B H$ , а антиферромагнитный знак обменной константы  $J$  учтен в явном виде.

$SU(2)$ -инвариантность означает, что спиновые операторы  $\{S^+, S^-, S^z\}$  могут быть представлены в виде произвольных линейных комбинаций спин-фермионов  $\{f_{\uparrow}, f_{\downarrow}, f_{\uparrow}^+, f_{\downarrow}^+\}$ :

$$\begin{aligned} S_i^+ &= (f_{i\uparrow}^+ \cos \theta + f_{i\downarrow} \sin \theta) (f_{i\downarrow} \cos \theta - f_{i\uparrow}^+ \sin \theta), \\ S_i^- &= (f_{i\downarrow}^+ \cos \theta - f_{i\uparrow} \sin \theta) (f_{i\uparrow} \cos \theta + f_{i\downarrow}^+ \sin \theta), \\ S_i^z &= \frac{1}{2} (f_{i\uparrow}^+ f_{i\uparrow} - f_{i\downarrow}^+ f_{i\downarrow}). \end{aligned} \quad (5)$$

В частности, для псевдофермионных чисел заполнения имеет место полная частичная симметрия,

$$f_{i\sigma}^+ f_{i\sigma} = f_{i-\sigma} f_{i-\sigma}^+, \quad (6)$$

которая непосредственно следует из условия (4) или из уравнений (5) при  $\theta = 0, \pi/2$ . Таким образом, гамильтониан (2) в псевдофермионном представлении принимает вид

$$H = H_0 + H_{int} = -\frac{\hbar}{2} \sum_{ij\sigma} \sigma f_{i\sigma}^+ f_{j\sigma} + \frac{J}{2} \sum_{ij\sigma} f_{i\sigma}^+ f_{j\sigma_1} f_{j\sigma_2}^+ f_{i\sigma_2}. \quad (7)$$

Локальный констрейнт существенно ограничивает возможность использования стандартных диаграммных методов или, во всяком случае, затрудняет практическое описание спиновой динамики в фермионном представлении, поскольку функциональные пространства, в которых действуют спиновые и фермиевские операторы, имеют различную размерность. Один из наиболее удобных методов корректного учета спиновой кинематики в фермионном представлении был предложен Абрикосовым [10]. Локализованному спину  $S_i$  соответствует  $2S + 1$  состояний (проекций), в то время как при описании его с помощью псевдофермионных операторов возникает  $2^{(2S+1)}$  ортогональных состояний в соответствии со значениями чисел заполнения (0,1) для всех  $2S + 1$  проекций спина. В частном случае спина  $S = 1/2$  имеется четыре состояния фермионов:

$$|0\rangle = |0, 0\rangle; \quad |+\rangle = |1, 0\rangle; \quad |-\rangle = |0, 1\rangle; \quad |2\rangle = |1, 1\rangle \quad (8)$$

и только два из них, а именно состояния  $|\pm\rangle$ , соответствуют физическим состояниям оператора спина. Абрикосов предложил приписывать энергию  $\lambda \gg T$  любому состоянию, занятому псевдофермионом. Тогда нефизическое состояние  $|2\rangle$  из набора (8) вымораживается при усреднении благодаря дополнительному множителю  $\exp(-\lambda/T)$  в статистической сумме  $\mathcal{Z}(T)$ . Для того чтобы убрать второе нефизическое состояние  $|0\rangle$ , следует добавить еще один фактор  $(1/2) \exp(\lambda/T)$  в  $\mathcal{Z}(T)$  и перейти к пределу  $\lambda/T \rightarrow \infty$  при усреднении по спиновым состояниям. В результате физические состояния  $|\pm\rangle$  становятся наименьшими по «энергии», и конечный результат не зависит от  $\lambda$ . Рецепт Абрикосова правильно описывает для локальных спиновых состояний в случае однопримесного гамильтониана  $sf$ -обмена. В кондо-решетке им удается воспользоваться только в пределе большого спина с вырождением  $N \rightarrow \infty$ , когда NCA становится асимптотически точным приближением [29], но для описания межузельных спин-жидкостных корреляций этот метод непригоден.

Исходным пунктом предлагаемого метода является хорошо известная аналогия между гамильтонианом Гейзенберга и гамильтонианом Хаббарда в пределе сильного взаимодействия  $U$  при половинном заполнении. Представим операторы псевдофермионов в виде сумм,

$$\begin{aligned} f_{i\sigma}^+ &= f_{i\sigma}^+(1 - n_{i-\sigma}) + f_{i\sigma}^+ n_{i-\sigma}, \\ n_{i\sigma} &= n_{i\sigma}(1 - n_{i-\sigma}) + n_{i\sigma} n_{i-\sigma}, \end{aligned} \tag{9}$$

и введем проекционные операторы Хаббарда для псевдофермионов точно так же, как это было сделано самим Хаббардом для операторов реальных электронов [30]:

$$\begin{aligned} X_i^{\sigma 0} &= f_{i\sigma}^+(1 - n_{i-\sigma}), \quad X_i^{2\sigma} = -\sigma f_{i-\sigma}^+ n_{i\sigma}, \\ X_i^{\sigma\sigma} &= n_{i\sigma}(1 - n_{i-\sigma}) = n_{i\sigma} n_{i-\sigma}, \quad X_i^{22} = n_{i\uparrow} n_{i\downarrow}, \quad X_i^{00} = (1 - n_{i\uparrow})(1 - n_{i\downarrow}), \\ X_i^{\sigma-\sigma} &= f_{i\sigma}^+ f_{i-\sigma} = X_i^{\sigma 2} X_i^{2-\sigma} = X_i^{\sigma 0} X_i^{0-\sigma}. \end{aligned} \tag{10}$$

Эти операторы образуют нормированный базис группы  $SU(4)$  с очевидным условием полноты

$$\sum_{\mu} X_i^{\mu\mu} = 1. \tag{11}$$

Последнее из соотношений (9) переписывается в виде

$$n_{i\sigma} = X_i^{\sigma 0} X_i^{0\sigma} + X_i^{\sigma 2} X_i^{2\sigma}. \tag{12}$$

В результате гамильтониан (2), (7) приобретает форму

$$\begin{aligned} H &= H_0 + H_{int}, \\ H_0 &= -\frac{\hbar}{2} \sum_{i\sigma} \sigma X_i^{\sigma\sigma} + \frac{U}{2} \sum_i (X_i^{00} + X_i^{22}), \\ H_{int} &= \frac{J}{2} \sum_{ij\sigma} (X_i^{\sigma-\sigma} X_j^{-\sigma\sigma} - X_i^{\sigma\sigma} X_j^{-\sigma-\sigma}) = \frac{J}{2} \sum_{ij\sigma\sigma'} \phi_{ij}^{\sigma} \phi_{ij}^{\sigma'}. \end{aligned} \tag{13}$$

Здесь

$$\phi_{ij}^{\sigma} = (\sigma X_i^{2-\sigma} + X_i^{\sigma 0}) (\sigma X_j^{-\sigma 2} + X_j^{0\sigma}), \tag{14}$$

а фиктивный параметр хаббардовского отгалкивания  $U$  для псевдофермионов введен таким образом, чтобы сохранить частично-дырочную симметрию гамильтониана Гейзенберга.

Вместо того чтобы воспользоваться диаграммными методами для  $X$ -операторов (см., например, [19, 22, 31, 32]), мы попытаемся остаться в рамках стандартного фейнмановского подхода, но использовать в явном виде свойства проекционных операторов  $X_i^{\lambda\mu}$ . В качестве базиса для диаграммного разложения возьмем собственные состояния гамильтониана  $H_0$  при условии  $U/T \equiv \beta U \rightarrow \infty$ . В результате приходим к редуцированному гамильтониану

$$\tilde{H} = \tilde{H}_0 + H_{int}, \quad \tilde{H}_0 = -\frac{h}{2} \sum_{i\sigma} \sigma f_{i\sigma}^+ f_{i\sigma} \tag{15}$$

со статистической суммой  $\tilde{Z} = \text{Tr} [\exp(-\beta\tilde{H})]$ , включающей только физические состояния  $|\sigma\rangle = |\pm\rangle$  из набора (8).  $H_0$  сводится к  $\tilde{H}_0$ , поскольку операторы  $X_i^{\sigma\sigma}$  и  $f_{i\sigma}^+ f_{i\sigma}$  имеют одни и те же матричные элементы в редуцированном (физическом) пространстве. Теперь мы можем использовать  $\tilde{H}$  в форме (15) в качестве гамильтониана нулевого приближения для мацубаровской диаграммной техники<sup>2)</sup>.

Выбор одной из двух форм гамильтониана взаимодействия (13) зависит от того, какое состояние спиновой системы мы собираемся описывать. Если для парамагнитной высокотемпературной фазы или состояния с дальним магнитным порядком наиболее удобно представление  $H_{int}$  через спиновые операторы  $X_i^{\sigma\sigma'}$ , то состояние спиновой жидкости RVB-типа естественно описывать в терминах операторов  $\phi_{ij}^\sigma$ .

Рассмотрим сначала температурную функцию Грина

$$\mathcal{K}_{ij}^\pm(\tau) = \langle T_\tau S_i^+(\tau) S_j^-(0) \rangle_{\tilde{H}}, \tag{16}$$

описывающую элементарные возбуждения в стандартной теории магнетизма ( $i\tau$  — мнимое «время»). В нулевом по взаимодействию приближении эта функция имеет вид

$$\mathcal{K}_{ij}^0(\tau) = \frac{\delta_{ij}}{4} \langle T_\tau f_{i\uparrow}^+(\tau) f_{i\downarrow}(\tau) f_{i\downarrow}^+(0) f_{i\uparrow}(0) \rangle_{\tilde{H}_0}. \tag{17}$$

Усреднение проводится со статистической суммой  $\mathcal{Z} = 2 \text{ch}(\beta h)$ . В соответствии с теоремой Вика это среднее представляется в виде двухфермионной петли и сводится к простому выражению

$$\mathcal{K}_{ij}^0(\tau) = \frac{\delta_{ij}}{4} e^{-h\tau} \begin{cases} \langle n_{i\uparrow}(1 - n_{i\downarrow}) \rangle_{\tilde{H}_0} & (\tau > 0) \\ \langle n_{i\downarrow}(1 - n_{i\uparrow}) \rangle_{\tilde{H}_0} & (\tau < 0) \end{cases}. \tag{18}$$

Мы видим, что в силу условия (4) фермионные состояния рождаются парами, а появление чисел заполнения в виде средних от проекционных операторов  $\langle X^{\sigma\sigma} \rangle_{\tilde{H}_0}$  (см. (10)) отражает то очевидное обстоятельство, что действие спиновых операторов не выводит систему из пространства «физических» состояний  $|\pm\rangle$ .

Таким образом, предел  $U \rightarrow \infty$  для эффективного гамильтониана (13) эквивалентен пределу  $\lambda \rightarrow \infty$  описанной выше процедуры Абрикосова «вымораживания» нефизических псевдофермионных состояний  $|0\rangle$  и  $|2\rangle$ , причем частично-дырочная симметрия при этом не нарушается.

Ряд теории возмущений для функции  $\mathcal{K}^\pm$  строится в соответствии с обычными правилами вычисления двухчастичных двухвременных функций Грина. Эта процедура приводит к уравнению Ларкина [34]

$$\mathcal{K} = \Sigma + J\Sigma\mathcal{K}. \tag{19}$$

<sup>2)</sup> Процедура, сходная с предлагаемой ниже, описана в [33] для случаев примеси Андерсона и решетки Андерсона. Однако, в силу того что гамильтониан Андерсона в отличие от спиновых гамильтонианов (1) и (2) не обладает локальной симметрией  $SU(2)$  и требование строгой частично-дырочной симметрии спин-фермионов для него отсутствует, при формулировке правил диаграммной техники возникает много различий.

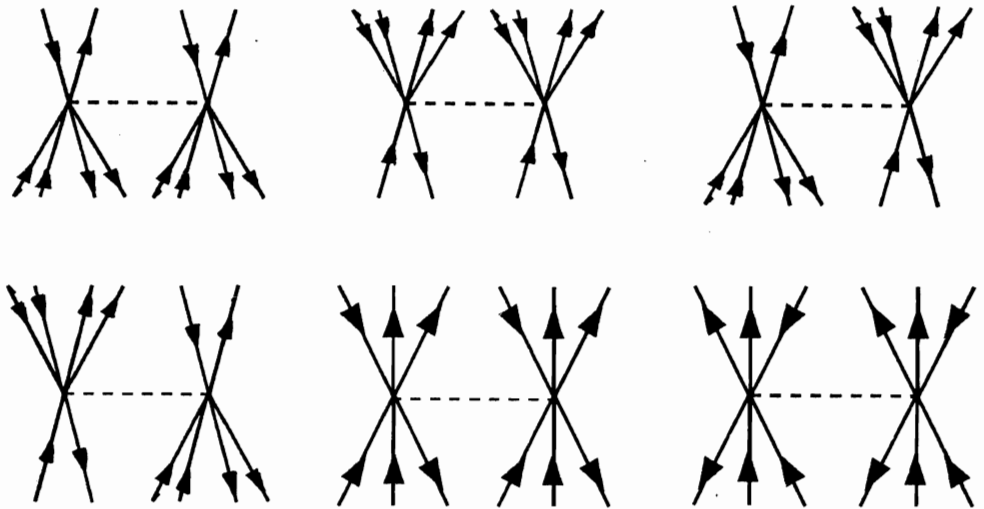


Рис. 1. Затравочные обменные вершины с учетом операторов проектирования

Здесь  $\Sigma$  — неприводимый поляризационный оператор, не разрезаемый по взаимодействию. В разд. 5 мы применим этот вариант диаграммной техники для вычисления коэффициента спиновой диффузии вблизи точки Нееля.

Перейдем к обсуждению нелокальных спин-жидкостных корреляций. В качестве примера рассмотрим однородную спиновую жидкость типа RVB, которая описывается коррелятором

$$\mathcal{L}_{ij} = \sum_{\sigma} \langle \phi_{ij}^{\sigma} \phi_{ji}^{\sigma} \rangle, \tag{20}$$

т. е. воспользуемся вторым вариантом записи  $H_{int}$  (13). Поскольку нефизические состояния  $|0\rangle, |2\rangle$  устраняются с помощью процедуры Хаббарда, каждый акт рождения фермиона на данном узле сопровождается операцией проектирования в соответствии с (14). Это приводит к усложнению обменной вершины (13), которая в проекционной технике описывается двенадцатихвостками, изображенными на рис. 1. Роль проекторов состоит в том, что при рождении фермиона с данной проекцией спина автоматически исключается состояние с противоположной проекцией и тем самым гарантируется, что оператор рождения действует на состояние из физического подпространства  $|\pm\rangle$ . Однако, несмотря на то что коррелятор (20) диагонален в подпространстве  $|\pm\rangle$ , нефизические состояния  $|0\rangle, |2\rangle$  появляются как промежуточные при любой попытке описать спиновую жидкость фермионными операторами.

В работах [11, 13] было отмечено, что введение однородного RVB-состояния в рамках приближения среднего поля [16] нарушает локальную калибровочную инвариантность, связанную с констрейнтом (4), (6), и длинноволновые флуктуации калибровочных полей в существенной степени изменяют характер RVB-возбуждений, особенно в случае двумерной решетки Гейзенберга (см. также [14, 35, 36]). В данной работе мы не будем касаться проблемы длинноволновых флуктуаций калибровочных полей. Нас



будут интересовать, главным образом, нелокальные высокотемпературные магнитные флуктуации, которые, впрочем, тоже связаны с нарушением констрейнта.

Как было показано в основополагающей работе [16], для описания однородного RVB-состояния необходимо ввести «аномальные» спаривания псевдофермионов на разных узлах. Ясно, что такая процедура выводит систему из физического пространства  $|\pm\rangle$ . Калибровочная теория спиновой жидкости демонстрирует, что свободное распространение спинона невозможно. Сложный вид вершин в проекционной технике (рис. 1) указывает на то же обстоятельство. Тем не менее мы начнем свое построение с демонстрации того, насколько эта техника справедлива в приближении среднего поля, а затем рассмотрим возможное влияние флуктуаций на среднеполевое решение.

Введем аномальную одночастичную (однофермионную) температурную функцию Грина. Для того чтобы сохранить частично-дырочную симметрию, запишем ее в матричной форме:

$$\hat{\mathcal{G}}_{i\sigma}(\tau) = -\langle T_\tau \hat{X}_{i\sigma}(\tau) \hat{X}_{j\sigma}^+(0) \rangle_{\hat{H}}, \quad (21)$$

где

$$\hat{X}_{i\sigma} = \begin{pmatrix} X_i^{0\sigma} & X_i^{\sigma 0} \\ \sigma X_i^{-\sigma 2} & \sigma X_i^{2-\sigma} \end{pmatrix}, \quad \hat{X}_{i\sigma}^+ = \begin{pmatrix} X_i^{\sigma 0} & \sigma X_i^{2-\sigma} \\ X_i^{0\sigma} & \sigma X_i^{-\sigma 2} \end{pmatrix}. \quad (22)$$

Эта функция Грина имеет следующую структуру:

$$\hat{\mathcal{G}}_{i\sigma}(\tau) = - \begin{pmatrix} \langle T_\tau (X_i^{0\sigma}(\tau) X_j^{\sigma 0}(0) + X_i^{\sigma 0}(\tau) X_j^{0\sigma}(0)) \rangle & \sigma \langle T_\tau (X_i^{0\sigma}(\tau) X_j^{2-\sigma}(0) + X_i^{\sigma 0}(\tau) X_j^{-\sigma 2}(0)) \rangle \\ \sigma \langle T_\tau (X_i^{-\sigma 2}(\tau) X_j^{\sigma 0}(0) + X_i^{2-\sigma}(\tau) X_j^{0\sigma}(0)) \rangle & \langle T_\tau (X_i^{-\sigma 2}(\tau) X_j^{2-\sigma}(0) + X_i^{2-\sigma}(\tau) X_j^{-\sigma 2}(0)) \rangle \end{pmatrix}. \quad (23)$$

Нулевая (одноузельная) матричная функция Грина

$$\hat{g}_{i\sigma}(\tau) = -\langle T_\tau \hat{X}_{i\sigma}(\tau) \hat{X}_{i\sigma}^+(0) \rangle_{\hat{H}_0} \quad (24)$$

диагональна, и ее элементы имеют вид

$$g_{i\sigma}^{(11)}(\tau) = -\langle T_\tau (X_i^{0\sigma}(\tau) X_i^{\sigma 0}(0) + X_i^{\sigma 0}(\tau) X_i^{0\sigma}(0)) \rangle_0,$$

$$g_{i\sigma}^{(22)}(\tau) = -\langle T_\tau (X_i^{-\sigma 2}(\tau) X_i^{2-\sigma}(0) + X_i^{2-\sigma}(\tau) X_i^{-\sigma 2}(0)) \rangle_0.$$

Так же, как и в предыдущем случае, усреднение  $\langle \dots \rangle_0 \equiv \langle \dots \rangle_{\hat{H}_0}$  оставляет одноузельную функцию Грина в физическом секторе пространства Фока. В частности,

$$\begin{aligned} g_{i\sigma}^{(11)}(\tau_1 - \tau_2) &= -\langle X_i^{\sigma 0}(\tau_1) X_i^{0\sigma}(\tau_2) \rangle_0 = -\langle X_i^{\sigma \sigma} \rangle_0 \exp(-i\sigma h(\tau_1 - \tau_2)/2) \quad (\tau_1 > \tau_2), \\ g_{i\sigma}^{(11)}(\tau_1 - \tau_2) &= \langle X_i^{\sigma 0}(\tau_2) X_i^{0\sigma}(\tau_1) \rangle_0 = \langle X_i^{\sigma \sigma} \rangle_0 \exp(-i\sigma h(\tau_1 - \tau_2)/2) \quad (\tau_2 > \tau_1). \end{aligned} \quad (25)$$

В отличие от спиновых функций Грина (17), матричные элементы функции  $\hat{g}_{i\sigma}(\tau)$  формально представляют собой трехфермионные петли, содержащие один частичный

(спин вверх) и два дырочных (спин вниз) или один дырочный и два частичных пропагатора. Однако ее можно упростить, воспользовавшись свойством идемпотентности оператора  $b^+b$ , условиями (4), (6) и теоремой Вика. Подставляя в (25) операторы Хаббарда в представлении взаимодействия, получаем для элементов одноузельного пропагатора выражения

$$g_{i\uparrow}^{(11)} = \frac{1}{2} e^{-h\tau} \begin{cases} -\langle (1 - n_{i\downarrow}) \rangle_0 & (\tau > 0) \\ \langle n_{i\downarrow} \rangle_0 & (\tau < 0) \end{cases}$$

и аналогичное выражение для состояния со спином вниз.

Легко убедиться, что функция Грина  $\mathcal{G}_{i\sigma}^{(\alpha\alpha)}$  обладает свойством периодичности,  $\mathcal{G}_{i\sigma}^{(\alpha\alpha)}(\tau < 0) = -\mathcal{G}_{i\sigma}^{(\alpha\alpha)}(\tau + 1/T)$ , так что вводя обычным образом мацубаровские частоты  $\omega_n = (2n + 1)\pi T$ , получаем

$$g_{i\sigma}^{(\alpha\alpha)}(\omega_n) = \frac{1}{2} \frac{1}{i\omega_n + (-1)^\alpha \sigma h/2}. \tag{26}$$

Приближение среднего поля [16] основано на введении аномальных средних,  $\langle f_{i\sigma}^+ f_{j\sigma} \rangle$ . Для аномальной матричной функции Грина (21) следует ввести четыре компоненты:

$$\begin{aligned} \Delta_{ij\sigma}^{11} &= \langle X_i^{\sigma 0}(\tau) X_j^{0\sigma}(\tau' \rightarrow \tau) \rangle, & \Delta_{ij\sigma}^{22} &= \langle X_i^{-\sigma 2}(\tau) X_j^{2-\sigma}(\tau' \rightarrow \tau) \rangle, \\ \Delta_{ij\sigma}^{12} &= \langle X_i^{\sigma 0}(\tau) X_j^{-\sigma 2}(\tau' \rightarrow \tau) \rangle, & \Delta_{ij\sigma}^{21} &= \langle X_i^{2-\sigma}(\tau) X_j^{0\sigma}(\tau' \rightarrow \tau) \rangle, \end{aligned} \tag{27}$$

причем  $\Delta_{ij\sigma}^{11} = \Delta_{ij\sigma}^{22}$ . Тогда легко проверить, что аномальная функция Грина также удовлетворяет условию периодичности по обратной температуре типа (21). Таким образом, мы можем использовать проекционную диаграммную технику для вычисления аномального среднего  $\Delta = \sum_{\sigma} \langle \phi_{ij}^{\sigma} \rangle$ , характеризующего однородное RVB-состояние. Этот «параметр порядка» находится из соотношения

$$\Delta = \text{Tr}(\hat{1} + \hat{\tau}_1) \hat{\mathcal{G}}_{ij}(\tau \rightarrow -0), \tag{28}$$

где  $\hat{1}$  и  $\hat{\tau}_1$  — матрицы Паули.

Перепишем операторы Хаббарда (10) в частично-дырочном представлении  $f_{i\uparrow} \equiv \equiv a_i$ ,  $f_{i\downarrow} \equiv b_i^+$ :

$$X_i^{\uparrow 0} = a_i^+ b_i^+ b_i, \quad X_i^{2\downarrow} = a_i^+ b_i b_i^+, \quad X_i^{\uparrow\downarrow} = a_i^+ b_i^+ \dots$$

Приближению среднего поля (28) соответствуют следующее расщепление гамильтониана взаимодействия  $H_{int}$ :

$$H_{MF} = J\Delta \sum_i \sum_j \langle nn \rangle \left( Y_{ij}^{(h)} + Y_{ij}^{(p)} \right), \tag{29}$$

где

$$\begin{aligned} Y_{ij}^{(p)} &= a_i^+ b_i^+ b_i b_j^+ b_j a_j + a_i^+ b_i b_i^+ b_j b_j^+ a_j + a_i^+ b_i b_i^+ b_j^+ b_j a_j + a_i^+ b_i^+ b_i b_j b_j^+ a_j, \\ Y_{ij}^{(h)} &= b_i a_i a_i^+ a_j a_j^+ b_j^+ + b_i a_i^+ a_i a_j^+ a_j b_j^+ + b_i a_i a_i^+ a_j^+ a_j b_j^+ + b_i a_i^+ a_i a_j a_j^+ b_j^+. \end{aligned}$$

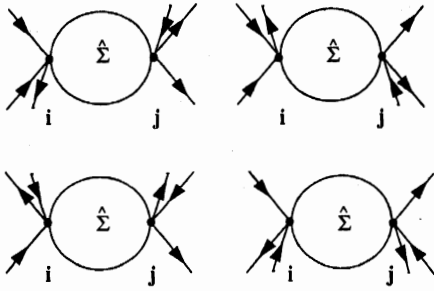


Рис. 2

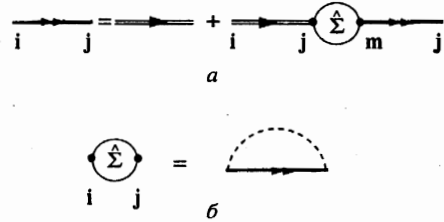


Рис. 3

Рис. 2. Компоненты матрицы  $\hat{\Sigma}$  для одночастичной функции Грина  $\mathcal{G}_{ij}$

Рис. 3. Уравнение Дайсона (a) и собственно-энергетическая часть (б) функции Грина  $\mathcal{G}_{ij\sigma}$  в приближении среднего поля

На языке теории возмущений этому приближению соответствуют диаграммы для собственно-энергетической части  $\hat{\Sigma}_{ij}$  функции Грина (23), представленные на рис. 2. Четыре диаграммы соответствуют четырем элементам матрицы  $\hat{\Sigma}$ . Матричное уравнение Дайсона в этом приближении дается диаграммами рис. 3, на которых двойными линиями изображены одноузловые матрицы  $g_{i\sigma}$ , штрихом обозначена константа гейзенберговского обмена, а жирными линиями с двумя стрелками — аномальная функция Грина  $\hat{\mathcal{G}}_{ij\sigma}$ . Уравнение Дайсона

$$\hat{\mathcal{G}}_{ij\sigma}(\omega_n) = \hat{g}_{i\sigma}(\omega_n) \left( \delta_{ij} + \sum_l \hat{\Sigma}_{il} \hat{\mathcal{G}}_{lj\sigma}(\omega_n) \right) \quad (30)$$

после фурье-преобразования принимает форму (при  $\hbar \rightarrow 0$ )

$$2i\omega_n \mathcal{G}_{k\sigma}^{(\alpha\beta)}(i\omega_n) = \delta_{\alpha\beta} + J\Delta\varphi(\mathbf{k}) \sum_{\gamma} \mathcal{G}_{k\sigma}^{(\gamma\beta)}(i\omega_n). \quad (31)$$

Решение этой системы дает

$$\mathcal{G}_{k\sigma}^{(11)}(i\omega_n) = \frac{1}{2} \frac{i\omega_n - \epsilon_k/2}{i\omega_n(i\omega_n - \epsilon_k)}, \quad \mathcal{G}_{k\sigma}^{(12)}(i\omega_n) = \frac{1}{2} \frac{\sigma\epsilon_k/2}{i\omega_n(i\omega_n - \epsilon_k)}. \quad (32)$$

Здесь  $\epsilon_k$  — закон дисперсии спинов в приближении среднего поля, имеющий вид

$$\epsilon_k = J\Delta\varphi(\mathbf{k}) \quad (33)$$

в случае антиферромагнитного обмена только между ближайшими соседями,  $\varphi(\mathbf{k})$  — соответствующий структурный фактор:

$$\varphi(\mathbf{k}) = \sum_l^{(nn)} e^{i\mathbf{k}l}. \quad (34)$$

Подставляя функции Грина (32) в уравнение (28), получаем самосогласованное уравнение для  $\Delta$ :

$$\Delta = (ZN)^{-1} \sum_{\mathbf{k}} \varphi(\mathbf{k}) \text{th} \frac{\beta[J\Delta\varphi(\mathbf{k}) - \mu]}{2} \quad (35)$$

( $Z$  — координационное число). Химический потенциал  $\mu$  вводится как множитель Лагранжа при подстановке условия констрейнта (4) в гамильтониан. Эта операция отвечает замене  $i\omega_n$  на  $i\omega_n + \mu$ . Как обычно, в приближении среднего поля локальный констрейнт заменяется на глобальный:

$$N^{-1} T \sum_{\mathbf{k}} \sum_{\omega_n} \text{Tr}(\hat{1} + \hat{\tau}_1) \hat{\mathcal{G}}_{\mathbf{k}}(i\omega_n) = 0. \quad (36)$$

Подставляя функции Грина (32) в (36), получаем еще одно уравнение самосогласования, фиксирующее  $\mu$  в середине спиновой «зоны» в соответствии с требованием частично-дырочной симметрии.

Температура «фазового перехода»  $T^*$ , при которой появляется нетривиальное решение для  $\Delta$ , дается выражением

$$T^* = \frac{J}{2} (ZN)^{-1} \sum_{\mathbf{k}} \varphi^2(\mathbf{k}), \quad (37)$$

которое обычно получается в приближении среднего поля методом функционального интегрирования (см., например, [6, 37, 38]).

Таким образом, мы находим, что кинематические ограничения на псевдофермионное представление спиновых операторов, учтенные методом хаббардовских проекционных операторов не влияют на среднеполевое решение для RVB-состояния при условии, что частично-дырочная симметрия сохраняется на каждой стадии вычислений. В этом отношении рассмотренная ситуация отличается от решения той же задачи методом операторов Хаббарда для  $t - J$ -модели с конечной концентрацией дырок [39], в которой эта симметрия нарушена с самого начала исключением только дважды заполненных состояний  $|2\rangle$ . В работе [22] предложен еще один симметричный способ устранения нефизических состояний, когда «фермиевский» набор  $|0\rangle, |2\rangle$  заменяется на единый «бозевский» вакуум  $|V\rangle$ .

Хотя проекционный метод не добавляет ничего нового к среднеполевому решению для однородной RVB-жидкости, он в принципе открывает возможность для учета калибровочных флуктуаций, неизбежно сопровождающих распространение спинов. Кроме того, как будет показано в следующем разделе, в случае трехмерной решетки Кондо спиновая жидкость образуется в условиях близости к антиферромагнитной неустойчивости, так что магнитные флуктуации оказывают решающее влияние как на температуру перехода в RVB-состояние, так и на механизм этого перехода.

### 3. СТАБИЛИЗАЦИЯ СПИНОВОЙ ЖИДКОСТИ В РЕШЕТКЕ КОНДО ПРИ ВЫСОКИХ ТЕМПЕРАТУРАХ. ПРИБЛИЖЕНИЕ СРЕДНЕГО ПОЛЯ

Хорошо известно [40], что в трехмерной решетке Гейзенберга энергия основного состояния RVB-фазы  $E_{SL}$  больше энергии антиферромагнитного состояния  $E_{AFM}$ . Было, однако, показано [6, 18], что в решетке Кондо, описываемой гамильтонианом (1), процессы рассеяния с переворотом спина могут приводить к стабилизации RVB-фазы

относительно магнитупорядоченной фазы. Поскольку антиферромагнитные и спинжидкостные корреляции в  $sf$ -обменной модели определяются одной и той же константой взаимодействия  $J_{RKKY}$ , температура формирования спиновой жидкости оказывается близкой к точке магнитной неустойчивости,  $T^* - T_N < T_N$ , так что антиферромагнитные корреляции могут существенно изменить характер перехода в RVB-фазу по сравнению с результатом, получаемым в приближении среднего поля.

Для того чтобы описать образование спиновой жидкости в решетке Кондо, возьмем гамильтониан (1) в исходной форме

$$H_{eff} = \sum_{k\sigma} \varepsilon_k c_{k\sigma}^+ c_{k\sigma} + \frac{1}{4} J_{sf} \sum_i c_{i\sigma}^+ c_{i\sigma'} f_{i\sigma'}^+ f_{i\sigma}. \quad (38)$$

Как уже говорилось во Введении, мы работаем в области параметров  $\alpha \approx \alpha_c$  диаграммы Доньяха [3], в которой все характерные температуры ( $T_K \sim \varepsilon_F \exp(-1/2\alpha)$ ,  $T_{N0} \sim \varepsilon_F \alpha^2$  и  $T^*$ , которую предстоит определить и вычислить) одного порядка, так что при построении реальной фазовой диаграммы следует принимать во внимание взаимное влияние всех трех типов корреляций друг на друга и, в частности, изменение температуры Нееля по сравнению со значением  $T_{N0}$ , диктуемым простой теорией возмущений по параметру  $\alpha$ .

Как уже было отмечено, в данной работе мы ограничимся областью высоких температур  $T > T_K, T_{N0}$ , в которой магнитная подсистема представляет собой решетку парамагнитных спинов, погруженных в ферми-море электронов проводимости, а для одноузельного парамагнитного  $sf$ -рассеяния справедливо приближение NCA, т.е. каждый спин, локализованный в узле решетки рассеивает электроны проводимости независимо от остальных спинов. При понижении температуры усиливается как кондо-рассеяние, так и межузельные корреляции, связанные с косвенным РККИ-взаимодействием.

Проблема конкуренции межузельного косвенного обмена и одноузельного  $sf$ -рассеяния многократно анализировалась в литературе главным образом в рамках двухприемной задачи Кондо. В частности, Варма [41] проанализировал взаимное влияние кондо-рассеяния и РККИ-взаимодействия при высоких температурах в рамках теории возмущений и пришел к выводу, что взаимное влияние этих двух процессов мало, по крайней мере в рамках ведущего логарифмического приближения по параметру  $\alpha \ln(\varepsilon_F/T)$ . Мы покажем в данном разделе, что в решетке Кондо влияние рассеяния с переворотом спина на магнитные корреляции является решающим фактором для стабилизации RVB-фазы в критической области диаграммы Доньяха  $\alpha \sim \alpha_c$ .

При описании межузельного магнитного взаимодействия в условиях кондовского рассеяния в приближении NCA эффективная вершина РККИ-обмена  $\tilde{J}_{ij}(T, \varepsilon)$  определяется диаграммой рис. 4а. На этой диаграмме штриховыми линиями обозначены электронные функции Грина, а входящие и выходящие линии соответствуют псевдофермионным операторам. В одноузельные  $sf$ -обменные вершины  $\Gamma$  включены петли, отвечающие ведущему логарифмическому приближению по  $\alpha \ln(\varepsilon_F/T)$  для задачи Кондо<sup>3)</sup> (рис. 5). В результате эффективное взаимодействие определяется выражением

$$\tilde{J}_{ij}(T, \varepsilon_m) = \Pi(R, \varepsilon_m) \Gamma^2, \quad (39)$$

где  $\varepsilon_m = 2m\pi T$ ,  $R = |R_i - R_j|$ .

<sup>3)</sup> Поскольку в случае  $S = 1/2$  для одноузельных процессов условие констрейнта выполняется автоматически [10], здесь не возникает необходимости введения проекционных операторов.

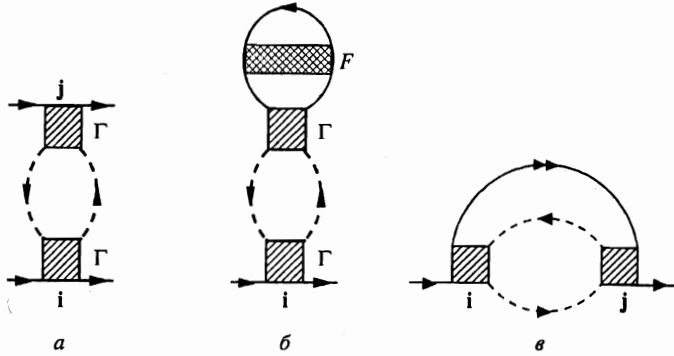


Рис. 4. Эффективная вершина перенормированного РККИ-взаимодействия (а); собственно-энергетическая часть одночастичной функции Грина в приближении среднего поля для фазы Нееля (б) и для RVB-фазы (в)



Рис. 5. Паркетные диаграммы для эффективной вершины Г

В духе логарифмической теории возмущений [10] в аргументе вершины Г должна быть удержана только максимальная входная частота, определяющаяся в нашем случае энергиями электронных функций Грина, входящими в поляризационную петлю  $\Pi(R, \epsilon_n)$  в интеграле  $\tilde{J}_R(T, \epsilon_m)$  (39). Поляризационный оператор в координатном представлении имеет вид

$$\Pi(\mathbf{R}, \epsilon_m) = T \sum_n D(-\mathbf{R}, \omega_n + \epsilon_m) D(\mathbf{R}, \omega_n). \tag{40}$$

Поскольку для систем с тяжелыми фермионами характерно аномально большие постоянные решетки, для электронных функций Грина  $D(\mathbf{R}, \omega_n)$  мы используем асимптотическое по  $p_F R$  выражение

$$D(\mathbf{R}, \omega_n) = -\frac{p_F}{2\pi v_F R} \exp\left(-\frac{|\omega_n|}{2\epsilon_F} p_F R + i p_F R \text{sign} \omega_n\right), \tag{41}$$

так что поляризационный оператор приобретает вид

$$\begin{aligned} \Pi(\mathbf{R}, \epsilon_m) &= \left(\frac{p_F}{2\pi v_F R}\right)^2 T \times \\ &\times \sum_{n=-\infty}^{n=\infty} \exp\left(-\frac{|\omega_n|}{v_F} R - \frac{|\omega_n + \epsilon_m|}{v_F} R + i p_F R (\text{sign} \omega_n + \text{sign}(\omega_n + \epsilon_m))\right). \end{aligned} \tag{42}$$

В статическом пределе

$$\tilde{J}_R(T, 0) = T \sum_n D^2(R, \omega_n) \Gamma^2(\omega_n, T). \quad (43)$$

Температурная зависимость (43) определяется главным образом одноузельными вершинами, а в поляризационной петле можно воспользоваться условием  $2\pi TR/v_f \ll 1$  и перейти от суммирования по дискретным частотам к интегрированию (см. Приложение I). Тогда обменный интеграл принимает вид

$$\tilde{J}_R(T, 0) = 2 \left( \frac{p_F}{2\pi v_F R} \right)^2 \cos(2p_F R) \int_{T \rightarrow 0}^{\infty} \frac{d\varepsilon}{2\pi} \exp\left(-\frac{\varepsilon}{\varepsilon_F} p_F R\right) \Gamma^2(\varepsilon, T) \quad (44)$$

Это уравнение превращается в стандартный интеграл РККИ-обмена при замене одетых вершин на затравочные интегралы,  $\Gamma \rightarrow J_{sf} \Omega_0$  ( $\Omega_0$  — объем элементарной ячейки):

$$\begin{aligned} J_R^0 &= (J_{sf} \Omega_0)^2 \Pi(R, 0) = (J_{sf} \Omega_0)^2 \frac{mp_F^4}{\pi^3} \left[ \frac{\cos(2p_F R)}{(2p_F R)^3} + O\left(\frac{1}{(2p_F R)^4}\right) \right] \equiv \\ &\equiv \left( \frac{J_{sf}^2}{\varepsilon_F} \right) \frac{(p_F a_0)^6}{2\pi^3} \Phi(2p_F R). \end{aligned} \quad (45)$$

Подставим в  $\tilde{J}_R(T, 0)$  вершину  $\Gamma(\varepsilon, T)$ , вычисленную в ведущем логарифмическом приближении в соответствии с диаграммами, показанными на рис. 5 со входящей частотой  $\varepsilon$ , удовлетворяющей условию  $\ln(\varepsilon_F/\bar{\varepsilon}) \gg 1$ . Для характерной энергии  $\bar{\varepsilon} \gg 1$ , определяющей интеграл (44) (см. Приложение II), находим, что обменный параметр может быть аппроксимирован функцией

$$\tilde{J}_R(T, 0) \approx \varepsilon_F \frac{(p_F a_0)^6}{2\pi^3} \left( \frac{J_{sf}}{\varepsilon_F} \right)^2 \Phi(2p_F R) [1 + 2\alpha \ln(T/\varepsilon_F)]^{-n}. \quad (46)$$

Степень  $n$  в этом выражении зависит от величины  $\alpha$  и аргумента осциллирующей функции  $\Phi(p_F R)$  (см. ниже вставку на рис. 11). Мы видим, таким образом, что на общий вид и пространственную периодичность интеграла косвенного обмена кондовское рассеяние при  $T > T_K$  практически не влияет в соответствии с [41]. Однако величина этого интеграла может возрастать, и это возрастание тем больше, чем больше расстояние  $R$  между магнитными  $f$ -ионами.

При вычислении поляризационного оператора и РККИ-интеграла (46) мы считали электронную ферми-поверхность сферической. Следует, однако, отметить, что величина индекса  $n$  в (46) чувствительна к асимптотическому поведению функции  $\Phi(2p_F R)$ , так что роль кондо-процессов в усилении обменного взаимодействия оказывается существенной в случае сильно анизотропной ферми-поверхности. В предельном случае цилиндрической поверхности Ферми

$$\Phi(2p_F R) = - \left[ \frac{\sin(2p_F R)}{(2p_F R)^2} + O\left(\frac{1}{(2p_F R)^3}\right) \right] \quad (47)$$

(см. Приложение I), так что при одном и том же значении параметра  $p_F R$  величина интеграла  $\tilde{J}_R(T, 0)$  в случае цилиндрической поверхности Ферми будет больше, чем для сферической.

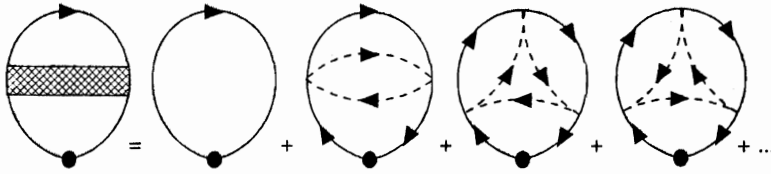


Рис. 6. Одноузельные диаграммы, описывающие кондовское экранирование локализованного спина

Итак, спиновая система при  $T > T_K$  описывается эффективным РККИ-гамильтонианом с вершиной, изображенной на рис. 4а в приближении ближайших соседей и в предположении, что РККИ-взаимодействие на ближайших соседях имеет антиферромагнитный знак. В приближении среднего поля задачу о стабилизации спиновой жидкости мы понимаем как задачу сравнения температур перехода в состояние RVB ( $T^*(\alpha)$ ) и в антиферромагнитное состояние ( $T_N(\alpha)$ ) в условиях достаточно сильного кондовского рассеяния,  $\alpha \rightarrow \alpha_{c0} - 0$ , и критерием этой стабилизации является неравенство  $T^*(\alpha) > T_N(\alpha)$ . Зависимость  $T_N(\alpha)$  отклоняется от квадратичной, диктуемой голдой РККИ-вершиной. Наряду с уже обсуждавшимся усилением одноузельных вершин, описываемым уравнением (46), имеет место динамическое кондовское экранирование локализованных спинов, которое и является причиной подавления антиферромагнитного порядка при  $\alpha \rightarrow \alpha_{c0}$ .

В приближении среднего поля температуры переходов  $T_N(\alpha)$  и  $T^*(\alpha)$  определяются из обменной вершины рис. 4а путем замыкания спин-фермионных линий согласно соответственно рис. 4б и 4в. Первая из этих диаграмм определяет молекулярное поле для соизмеримого магнитного порядка, характеризуемого антиферромагнитным вектором  $\mathbf{Q}$ , таким что  $\mathbf{Q}\mathbf{R}_{ij} = \pi$ . Эффект подавления магнитных корреляций кондо-рассеянием описывается вершиной  $F(T)$  в диаграмме рис. 4б (см. [42, 43]). Суммирование последовательности логарифмических диаграмм, первые из которых представлены на рис. 6, дает для  $F(T)$  выражение

$$F(T) = 1 - 2\alpha \ln \frac{\varepsilon_F}{T} / \ln \frac{T}{T_K}. \tag{48}$$

Хотя температурная зависимость  $F(T)$  отклоняется от этого закона при  $T \rightarrow T_K$  [44] и полное экранирование имеет место лишь при  $T = 0$ , эффект подавления магнитных корреляций компенсирует усиление обменного взаимодействия и тем самым уменьшает  $T_N$  при  $\alpha \rightarrow \alpha_{c0}$ .

Собственно-энергетическая часть одноузельной функции Грина  $\mathcal{S}_{ii}$  (21), отвечающая диаграмме рис. 4б, равна

$$\Sigma_N(T) = \lambda \tilde{J}(R, T) \langle S_z \rangle_T \tag{49}$$

(множитель  $\lambda$  определяется геометрией решетки). Отсюда для среднего значения спина

$$\langle S_z \rangle_T = \frac{1}{2} (\langle a_i^+ a_i \rangle + \langle b_i^+ b_i \rangle - 1)$$

получаем самосогласованное уравнение



$$\langle S_z \rangle_T = \frac{1}{2} F(T) \text{th} \frac{\Sigma_N(T)}{2T}, \tag{50}$$

которое, естественно, представляет собой стандартное уравнение Бриллюэна для молекулярного поля Вейсса, учитывающее эффект кондовского экранирования.

Уравнение среднего поля для параметра  $\Delta$  (28) определяется собственно-энергетической частью аномальной функции Грина  $\hat{G}_{ij}(\tau)$  (23), изображенной на рис. 4в. Эта диаграмма подставляется в уравнение Дайсона (рис. 3), которое в этом случае принимает вид

$$\hat{G}(\mathbf{p}, \omega_n) = g_0(\omega_n) \left[ 1 - 2T \sum_m \sum_q \tilde{J}(\mathbf{p} - \mathbf{q}, \omega_n - \omega_m) \hat{G}(\mathbf{q}, \omega_m) \hat{G}(\mathbf{p}, \omega_n) \right]. \tag{51}$$

Здесь  $g_0(\omega_n)$  — нулевая одноузловая функция Грина с компонентами (26), а  $\tilde{J}(\mathbf{p} - \mathbf{q}, \omega_n)$  — фурье-образ косвенного обменного интеграла (39), в приближении ближайших соседей имеющий вид

$$\tilde{J}(\mathbf{q}, \varepsilon_m) = \sum_{l=0, (l)_{n,n}} \tilde{J}_R(\varepsilon_m) e^{-i\mathbf{q}r} = \tilde{J}_0(\varepsilon_m) + \tilde{J}_R(\varepsilon_m) \varphi(\mathbf{q}). \tag{52}$$

Величина одноузельного интеграла  $\tilde{J}_0(T, 0)$  оценивается как  $\alpha^2 T \ln(\varepsilon_F/T)$ . Поскольку этот интеграл содержит дополнительный фактор малости  $\alpha$  при  $T \sim T^*$  по сравнению с межузельным интегралом (46), он может быть опущен.

Пренебрегая, как обычно, частотной зависимостью РККИ-взаимодействия, мы приходим к среднеполевому уравнению (35) для  $\Delta$ , рассмотренному в предыдущем разделе, с константой связи  $J = \tilde{J}_R(T, 0)$ . Как видно из структуры аномальной собственно энергетической части (рис. 4б), эффект экранирования, ответственный за подавление локальных магнитных моментов, не влияет на межузельный параметр среднего поля  $\Delta$ , что естественным образом объясняется синглетностью RVB-спаривания. Радиус кондовского «экранирования» в рамках высокотемпературной теории возмущений оценивается как  $\hbar v_F / 2T_K$ , что существенно превышает корреляционный радиус синглетной RVB-пары, так что спиновое рассеяние электронов на этих парах неэффективно.

Результат вычисления температур  $T^*$  и  $T_N$  с помощью уравнений (35), (46), (49) и (50) показан на рис. 7 (см. также [18]). Из этого рисунка видно, что при  $\alpha \rightarrow \alpha_{c0}$  эти

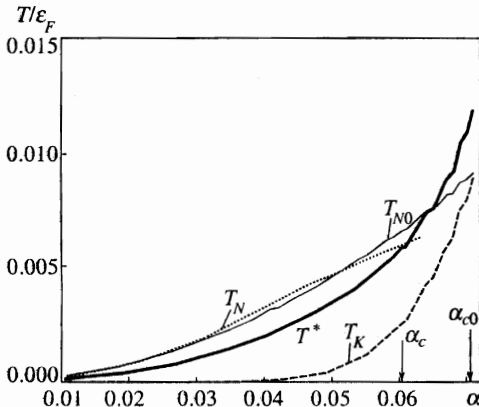


Рис. 7. Обобщенная диаграмма Доньяха, учитывающая существование RVB-фазы

температуры сближаются, на диаграмме Доньяха появляется новая критическая точка  $\alpha_c$ , правее которой RVB-фаза стабилизируется относительно антиферромагнитной, и эта стабилизация происходит в логарифмической окрестности температуры Кондо. Вычисление  $T_N$  для  $\alpha > \alpha_c$  не имеет смысла, поскольку магнитное упорядочение в этой области должно происходить по другому сценарию.

Таким образом, мы приходим к выводу, что стабилизация спиновой жидкости типа однородной RVB-фазы в трехмерной решетке Кондо может иметь место только вблизи точки магнитной неустойчивости в условиях достаточно сильного экранирования локализованных спинов кондо-рассеянием на электронах проводимости. Этот результат, полученный в приближении среднего поля, показывает, что стабилизация спин-жидкостной фазы несовместима с образованием кондо-синглетных состояний, характеризующихся аномальными средними  $\langle c_i^+ f_i \rangle$  (см. [6, 45]), поскольку аномальное кондо-рассеяние замораживается при  $T \approx T^* > T_K$ . Этим самым снимается известный «парадокс Нозьера» [46] о невозможности одновременного экранирования всех спинов в решетке Кондо электронами из тонкого слоя шириной  $T_K$  вокруг уровня Ферми. В предлагаемой картине процесс экранирования прекращается при достаточно высоких температурах выше  $T_K$ , сама температура Кондо не является сингулярной точкой теории, перенормировка  $sf$ -обменного интеграла замораживается при значении  $\sim \tilde{J}(T^*)$ , а при  $T < T_K$ ,  $T^*$  электроны взаимодействуют уже не с локализованными спинами, а со спин-жидкостными возбуждениями типа спинов (см. также [47]).

Однако само приближение среднего поля для RVB-спаривания помимо уже отмеченных недостатков, связанных с нарушением локальной калибровочной инвариантности, в рассматриваемом случае обладает еще одним дефектом: оно не учитывает близости спиновой подсистемы к антиферромагнитной неустойчивости. В следующих разделах мы рассмотрим возможные следствия этой близости для RVB-состояния сначала в приближении самосогласованного поля, а затем за его рамками.

#### 4. ВЛИЯНИЕ СПИНОВЫХ ФЛУКТУАЦИЙ И ЭФФЕКТОВ МАГНИТНОЙ АНИЗОТРОПИИ НА МЕХАНИЗМ СТАБИЛИЗАЦИИ RVB-ФАЗЫ

В предыдущем разделе мы нашли, что антиферромагнитные флуктуации неизбежно оказываются сильными в спиновой жидкости RVB-типа в трехмерной решетке Кондо при высоких температурах  $T \sim T^*$  и, в принципе, могут привести к возникновению магнитного порядка при  $T \ll T^*$ . Оставляя этот вопрос для дальнейших исследований, мы теперь рассмотрим влияние спиновых флуктуаций на характер перехода в состояние спиновой жидкости, оставаясь в рамках приближения среднего поля, но воспользовавшись его модификацией, полученной проекционным методом, в котором параметр порядка определяется уравнением (28). Построенная во втором разделе диаграммная техника с использованием хаббардовских операторов позволяет включить в рассмотрение также длинноволновые флуктуации калибровочных полей, возникающие вследствие  $U(1)$ -неинвариантности RVB-параметра порядка. Введение в эффективный гамильтониан слагаемых, учитывающих наличие фазы у функции  $\Delta$ , может быть проведено стандартным способом ([13, 14]). Как известно, длинноволновые флуктуации калибровочных полей не ведут к расходимостям, дестабилизирующим RVB-среднее в трехмерных системах. Поэтому введение таких флуктуаций сводится к обычным ферми-жидкостным перенормировкам с учетом требований частично-дырочной симметрии.

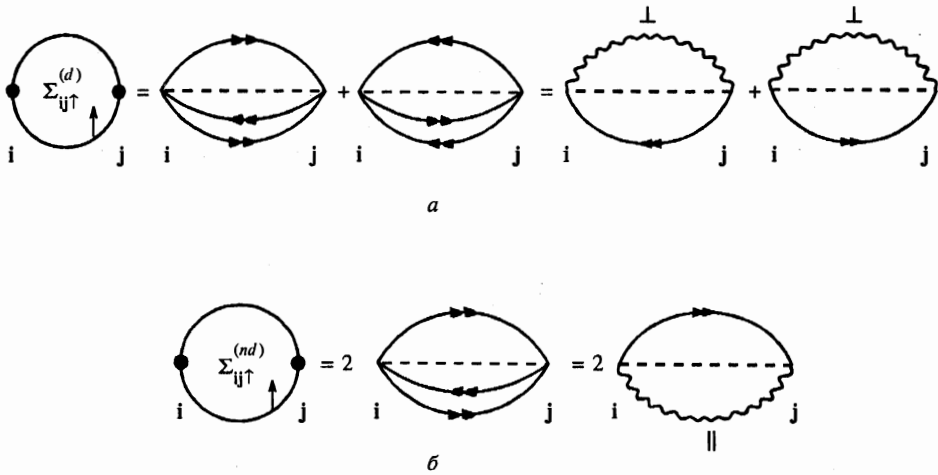


Рис. 8. Собственно-энергетическая часть для аномального пропагатора  $\mathcal{G}_{ij}$ , включающая вклад от критических флуктуаций в приближении среднего поля

Однако в двумерных решетках Гейзенберга флуктуации оказываются существенными и должны быть включены в рассмотрение [13, 14]. Мы не будем касаться вопроса длинноволновых флуктуаций калибровочных полей в дальнейшем, ограничившись приближением среднего поля в фиксированной калибровке.

Записав гамильтониан среднего поля в виде (29), мы в последующих вычислениях рассматривали дополнительные операторы в  $Y_{ij}^{(p,h)}$  как чисто статические проекционные операторы, устраняющие нефизические состояния в термодинамических средних. Рассмотрим теперь флуктуационную компоненту этого «кинематического» взаимодействия, преобразовав эффективный спинонный гамильтониан среднего поля для решетки Кондо следующим образом:

$$H_{MF}^{(RKKY)} = \bar{J}\Delta \sum_{ij\sigma} \phi_{ij}^\sigma \equiv \bar{J}\Delta \sum_{ij} (a_i^+ K_{ij}^+ a_j - a_j K_{ji}^+ a_i^+ + b_i K_{ij}^+ b_j^+ - b_j^+ K_{ji} b_i). \quad (53)$$

Здесь  $\bar{J}$  — ренормированная константа РККИ-взаимодействия (46),

$$K_{ij} = S_i^- S_j^+ - S_i^z S_j^z + \frac{1}{4}$$

и  $K_{ij}^+ = K_{ji}$ . В условиях близости к точке магнитной неустойчивости естественно рассматривать  $K_{ij}$  как оператор, описывающий критические возбуждения, сопровождающие распространение спинов при температурах близких к  $T_N$ .

Для того чтобы получить выражение для спинонной функции Грина, соответствующее этому приближению, вернемся к определению ее собственно-энергетической части. В стандартной теории среднего поля (рис. 3) проекционные операторы учитывались в статическом приближении. Диаграммы рис. 8 показывают, каким образом из вершин, представленных на рис. 1, можно построить диагональные и недиагональные компоненты собственно-энергетической части функции Грина  $\hat{\mathcal{G}}_{ij}$ , включающие поперечные и продольные спиновые корреляторы. На этих диаграммах линиями с двойными стрелками обозначены аномальные пропагаторы

$$\begin{aligned} g_{ij}^\dagger &= -\langle T_\tau a_i(\tau) a_j^\dagger(\tau') \rangle, \\ g_{ij}^\ddagger &= -\langle T_\tau b_i(\tau) b_j^\dagger(\tau') \rangle, \end{aligned} \quad (54)$$

а волнистыми линиями — поперечные и продольные корреляционные функции

$$\begin{aligned} \mathcal{H}_{ij}^\pm(\tau \rightarrow 0) &= \langle T_\tau a_j^\dagger(\tau + 0) b_j^\dagger(\tau + 0) b_i(0) a_i(0) \rangle = \langle T_\tau S_j^+(\tau + 0) S_i^-(0) \rangle, \\ \mathcal{H}_{ij}^{zz}(\tau \rightarrow 0) &= \langle T_\tau b_j^\dagger(\tau + 0) b_j(\tau + 0) b_i^\dagger(0) b_i(0) \rangle = \frac{1}{4} - \langle T_\tau S_j^z(\tau + 0) S_i^z(0) \rangle. \end{aligned} \quad (55)$$

В отличие от полной аномальной функции Грина (23), аномальные функции (54) есть одночастичные пропагаторы, а из проекционных операторов сформированы меж-узельные спиновые корреляторы (55). Теперь сумма диагональных элементов

$$\Sigma_{ij}^{(d)} = \Sigma_{ij}^{(11)} + \Sigma_{ij}^{(22)}$$

в уравнении (28) дается диаграммами рис. 8а, а вкладу от недиагональных элементов

$$\Sigma_{ij}^{(nd)} = \Sigma_{ij}^{(12)} + \Sigma_{ij}^{(21)}$$

отвечают диаграммы рис. 8б. При выводе этих выражений использованы определение (3) и условие (6). Аналогичные диаграммы получаются для  $\Sigma_{ij}$ . Суммируя все эти вклады в приближении среднего поля, приходим к эффективному гамильтониану (53).

В критической области  $T_N < T < T^*$  основной вклад в спиновые корреляторы (55) дают длинноволновые возбуждения с  $\mathbf{k} \rightarrow 0$  и коротковолновые возбуждения с  $\mathbf{k} \rightarrow \mathbf{Q}$ , (см., например, [48], а также разд. 5). Поведение функции отклика  $K^R(\mathbf{k}, \omega)$  в длинноволновом (гидродинамическом) пределе  $\mathbf{k} \rightarrow 0$  определяется флуктуациями суммарной намагниченности подрешеток (в антиферромагнитных системах равной нулю) и имеет диффузионный характер

$$K^R(\mathbf{k}, \omega) = K_0(\mathbf{k}) \frac{iDk^2}{\omega + iDk^2} \quad (56)$$

где

$$\begin{aligned} K_0(\mathbf{k}) &= \mathcal{H}(\mathbf{k}, \omega = 0) = \frac{\chi_0}{\tau + [1 - J(\mathbf{k})/J(\mathbf{Q})]} \approx \frac{1}{2} \chi_0(T_N), \\ J(\mathbf{k}) &= J \sum_{(l)} e^{i\mathbf{k}l}, \quad \chi_0(T) = \frac{S(S+1)}{3T}, \quad \tau = \frac{T - T_N}{T_N} \end{aligned} \quad (57)$$

(в выражении (56) мы перешли к запаздывающей функции Грина для действительной частоты  $\omega$ ).

Вблизи антиферромагнитного вектора  $\mathbf{Q}$  поведение функции отклика носит релаксационный характер:

$$K^R(\mathbf{q}, \omega) = \frac{1}{-i\omega/(\Gamma\chi_0) + K_0^{-1}(\mathbf{q})}, \quad \mathbf{q} = \mathbf{k} - \mathbf{Q}, \quad (58)$$

где

$$K_0(\mathbf{q}) = \mathcal{H}(\mathbf{q}, \omega = 0) = \frac{\chi_0}{\tau + (ql_0)^2} \quad (59)$$

— статическая корреляционная функция Орнштейна–Цернике,  $l_0$  — длина свободного пробега элементарного возбуждения, по порядку величины близкая к постоянной решетки.

В приближении среднего поля мы пренебрегаем запаздыванием РККИ-взаимодействия, и тогда диаграммы рис. 8 дают для собственной энергии спинов выражение

$$\begin{aligned} \tilde{\epsilon}_{\mathbf{k}} = \Sigma(\mathbf{k}) &= 2\bar{J}T^2 \sum_{n,m\mathbf{q}} \sum_s \varphi(\mathbf{k} - \mathbf{q}) g_{\mathbf{k}}(i\omega_n) \mathcal{K}_{\mathbf{q}}^s(i\varepsilon_m) \approx \\ &\approx \bar{J}\Delta \left( \frac{\varphi(\mathbf{k})}{2} + 2T \sum_{\mathbf{q}} \varphi(\mathbf{k} - \mathbf{q}) K_0(\mathbf{q}) \right). \end{aligned} \quad (60)$$

Здесь  $s$  — индекс поляризации, а аномальная функция Грина  $g_{\mathbf{k}}$  берется в виде  $g_{\mathbf{k}}(i\omega_n) = (i\omega_n - \tilde{\epsilon}_{\mathbf{k}})^{-1}$ . При высоких температурах в среднеполовом решении мы оставили только член с  $\varepsilon_m = 0$  в сумме по четным мацубаровским частотам, и тогда спиновая функция Грина  $\mathcal{K}^s(\mathbf{q}, 0)$  на диаграммах рис. 8 имеет один и тот же вид как в гидродинамической, так и в критической областях [48], так что главный вклад в перенормировку спионного спектра дает статическая восприимчивость  $K_0(\mathbf{q})$  (59).

Параметр порядка  $\Delta$  (28), отвечающий приближению (53) и диаграммам рис. 8, определяется уравнением

$$\Delta = \frac{1}{z} \sum_{\mathbf{p}\mathbf{q}} \varphi(\mathbf{p} - \mathbf{q}) \left[ \frac{1}{2} \delta_{\mathbf{q},0} + 2TK_0(\mathbf{q}) \right] \text{th} \frac{\tilde{\epsilon}_{\mathbf{p}}}{2T}. \quad (61)$$

Самосогласованные уравнения (35) и (61) выведены для простейшего случая изотропного обменного взаимодействия, который, вообще говоря, никогда не реализуется в решетках Кондо. Поэтому, прежде чем анализировать влияние спиновых флуктуаций на  $T^*$ , мы обобщим теорию среднего поля на случай анизотропного обмена. Введем обменный интеграл  $J_{ij} = \{J_{\parallel}, J_{\perp}\}$ , где  $J_{\parallel}$  и  $J_{\perp}$  — константы связи для ближайших соседей соответственно в базисной плоскости и в перпендикулярном к ней направлении. Степень анизотропии взаимодействия определяется параметром  $\gamma = J_{\perp}/J_{\parallel}$ . Теперь вместо гамильтониана (29) или (53) следует записать анизотропный гамильтониан среднего поля

$$H_{MF} = \sum_{i,\rho_{\perp}} J_{\perp} \Delta_{\perp} Y_{i,i+\rho_{\perp}} + \sum_{i,\rho_{\parallel}} J_{\parallel} \Delta_{\parallel} Y_{i,i+\rho_{\parallel}}. \quad (62)$$

Здесь аномальные средние  $\langle Y_{i,i+\rho_u} \rangle$ , где  $u = \perp, \parallel$ , определяются из системы уравнений

$$\Delta_u = \frac{1}{z_u} \sum_{\mathbf{p}} \phi_u \left( \mathbf{p}, \frac{T}{T_N}, \gamma \right) \text{th} \frac{\tilde{\epsilon}_{\mathbf{p}}^u(T/T_N, \gamma)}{2T} \quad (63)$$

с законом дисперсии

$$\tilde{\epsilon}_{\mathbf{p}}^u(T/T_N, \gamma) = J_u \Delta_u \phi_u(\mathbf{p}, T/T_N, \gamma). \quad (64)$$

Перенормированный спиновыми флуктуациями структурный фактор  $\phi_u(\mathbf{p}, T/T_N, \gamma)$  выражается через структурный фактор  $\varphi_u(\mathbf{p})$  типа (33), где суммирование по ближайшим соседям  $\mathbf{l}$  проводится соответственно только в базисной плоскости ( $\gamma < 1$ ) или в перпендикулярном к базисной плоскости направлении ( $\tilde{\gamma} = \gamma^{-1} < 1$ ):

$$\phi_u \left( \mathbf{p}, \frac{T}{T_N}, \gamma \right) = \frac{1}{2} \varphi_u(\mathbf{p}) + 2T \sum_{\mathbf{q}} \varphi_u(\mathbf{p} - \mathbf{q}) K_0(\mathbf{q}). \quad (65)$$

Индекс  $\gamma$  в левой части (65) возникает вследствие анизотропного характера коррелятора  $K_0(\mathbf{q})$ . Таким образом, характер перехода в состояние спиновой жидкости определяется степенью анизотропии: в случае  $\gamma < 1$  спин-жидкостные корреляции возникают сначала в базисной плоскости, а при  $\gamma > 1$  — в направлении  $z$ . При дальнейшем понижении температуры спиновая жидкость, естественно, приобретает трехмерный характер при условии  $\gamma \neq (0, \infty)$ .

Температура перехода в состояние спиновой жидкости при учете спиновых флуктуаций определяется из решения уравнения

$$T_u^* = \frac{1}{2} \max \{ J_{\parallel}, J_{\perp} \} \theta_u \left( \frac{T_u^*}{T_N}, \gamma \right), \quad (66)$$

где

$$\theta_u \left( \frac{T_u^*}{T_N}, \gamma \right) = (z_u N)^{-1} \sum_{\mathbf{p}} \phi_u^2 \left( \mathbf{p}, \frac{T}{T_N}, \gamma \right), \quad (67)$$

$z_{\parallel}$  — координационное число в базисной плоскости,  $z_{\perp} = 2$ .

Для оценки роли спиновых флуктуаций в установлении режима спиновой жидкости удобно ввести температуру

$$T_u^{*(0)} = \frac{1}{2} \max \{ J_{\parallel}, J_{\perp} \} \theta_u^{(0)} \quad (68)$$

перехода в состояние RVB в анизотропной решетке без учета влияния спиновых флуктуаций. Здесь

$$\theta_u^{(0)} = (z_u N)^{-1} \sum_{\mathbf{p}} \varphi_u^2(\mathbf{p}). \quad (69)$$

Тогда условием реализации перехода по спин-флуктуационному механизму является выполнение неравенства

$$\Upsilon_u(\gamma, T_u^{*(0)}/T_N) = \theta_u(T_u^{*(0)}/T_N, \gamma) / \theta_u^{(0)} > 1. \quad (70)$$

Значения параметра  $\Upsilon_u(\gamma)$  ( $\Upsilon_u(\tilde{\gamma})$ ) для случая простой кубической решетки вычислены в Приложении III. Критические значения параметров анизотропии  $\gamma_{1,2}$ , при которых стабилизируется состояние спиновой жидкости в почти одномерной и почти двумерной магнитных решетках, приведены для случая  $T_u^{*(0)}/T_N = 1$  на рис. 9 для различных значений параметра  $\tau$ . Видно, что в только в сильно анизотропной ситуации, близкой к двумерной или одномерной (см. выражения (П.III.7) и (П.III.8), спиновые корреляции способствуют возникновению спиновой жидкости, а в изотропном случае учет антиферромагнитных флуктуаций в приближении среднего поля приводит к подавлению спин-жидкостной фазы.

Проведенный в этом разделе анализ еще раз указывает на ограниченность приближения среднего поля для описания спиновой жидкости. В частности, уже из диаграмм рис. 8 видно, что статическое приближение в критической области, вообще говоря, несправедливо, поскольку антиферромагнитные флуктуации задают свои собственные временной и энергетический масштабы, которые и будут определять истинный характер перехода из парамагнитного состояния в состояние спиновой жидкости.

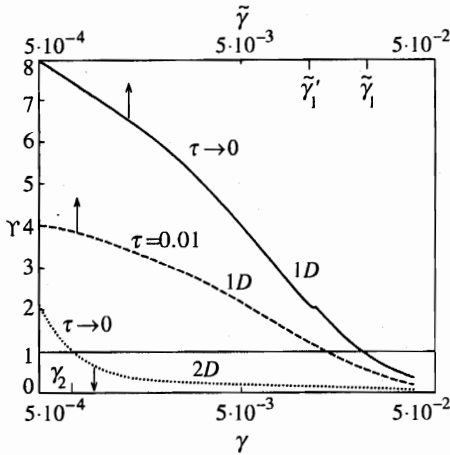


Рис. 9. Параметр  $\gamma$ , описывающий влияние критических спиновых флуктуаций на температуру перехода в RVB-фазу для квазиодномерной (1D) и квазидвумерной (2D) решеток Кондо. Значение параметра  $\tau$  характеризует степень близости к антиферромагнитной неустойчивости. Состояние RVB возникает при  $\gamma < \gamma_1$  и  $\tilde{\gamma} < \tilde{\gamma}_2$  в случае соответствия оси и плоскости легкого намагничивания

5. КРИТИЧЕСКИЕ АНТИФЕРРОМАГНИТНЫЕ ФЛУКТУАЦИИ И СПИНОВАЯ ДИФФУЗИЯ

Как уже говорилось в разд. 4, в антиферромагнетиках критические флуктуации носят различный характер в длинноволновой ( $k \rightarrow 0$ ) и коротковолновой ( $k \rightarrow Q$ ) областях, и функция спинового отклика для этих областей принимает соответственно вид (56) и (58). Критическая динамика антиферромагнетиков обычно рассматривается ренормгрупповыми методами в рамках феноменологических моделей [49, 50]. В работе [48] динамическая восприимчивость двумерного антиферромагнетика в диффузионной и релаксационной областях вычислялась с помощью диаграммной техники в представлении швингеровских бозонов. Мы исследуем частотную и импульсную зависимости динамической восприимчивости в трехмерном случае с использованием техники псевдофермионов.

Для вычисления коэффициента спиновой диффузии  $D$  и релаксационной постоянной  $\Gamma$  кроме спиновых корреляторов, определяемых уравнением Ларкина (19), следует знать низкочастотное поведение токового коррелятора

$$K_{SS}^{\alpha\beta}(\mathbf{k}, \tau) = \delta_{\alpha\beta} \sum_{\mathbf{k}_1 \mathbf{k}_2} V(\mathbf{k}, \mathbf{p}_1) V(-\mathbf{k}, -\mathbf{p}_2) \langle T_{\tau} (S_{\mathbf{p}_1 + \mathbf{k}/2}^{\mu} S_{-\mathbf{p}_1 + \mathbf{k}/2}^{\rho})_{\tau} (S_{-\mathbf{p}_2 - \mathbf{k}/2}^{\mu} S_{\mathbf{p}_2 - \mathbf{k}/2}^{\rho})_0 \rangle, \quad (71)$$

где

$$V(\mathbf{k}, \mathbf{p}) = J(\mathbf{k} + \mathbf{p}/2) - J(-\mathbf{k} + \mathbf{p}/2).$$

Для фурье-образа коррелятора  $K_{SS}$ , продолженного в верхнюю полуплоскость, существует точное уравнение, связывающее его с неприводимыми (неразрезаемыми по линии взаимодействия) собственно-энергетическими частями спиновой и токовой корреляционных функций

$$K_{SS}^R(\omega) = \Sigma_{SS}^R + \omega^2 \frac{\Sigma_{SS}^R \mathcal{V} \Sigma_{SS}^R}{1 - \Sigma_{SS}^R \mathcal{V}}. \quad (72)$$

Здесь  $\mathcal{V} = (\Sigma^R)^{-1} - (K_0)^{-1}$  — вершинная часть, определяемая статическим откликом в критической области [19, 51].

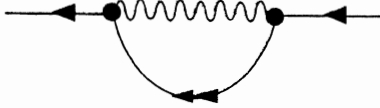


Рис. 10. Собственно-энергетическая часть для функции Грина  $\mathcal{S}_{ii}$ , включающая вклад от критических флуктуаций в борновском приближении

Используя дисперсионные соотношения Крамерса–Кронига для запаздывающих и опережающих токовых корреляционных функций и аналитические свойства неприводимых собственно-энергетических частей, из уравнений (19) и (72) можно получить выражение

$$K_{SS}^R(\omega) = K_0 \frac{\Gamma_{k,\omega}}{-i\omega + \Gamma_{k,\omega}}, \tag{73}$$

справедливое как при  $k \rightarrow 0$ , так и при  $k \rightarrow Q$ .

Спиновые корреляционные функции могут быть выражены через псевдофермионные функции Грина. Так, выражение для одноузельной восприимчивости имеет вид

$$\mathcal{K}_i^\perp(\varepsilon_m) = T \sum_m \mathcal{S}_{ii}(\omega_n + \varepsilon_m) \mathcal{S}_{ii}(\omega_n), \tag{74}$$

см. (16). Здесь  $\mathcal{S}_{ii}(\omega_n)$  — фурье-компонента псевдофермионной функции Грина  $\mathcal{S}_{ii}(\tau) = \langle T_\tau f_i(\tau) f_i^\dagger(0) \rangle$ . Поскольку нефизические состояния при вычислении одноузельных средних для  $S=1/2$  не возникают, здесь нет необходимости во введении проекционных операторов. При  $T \rightarrow T_N$  рассеяние на релаксационной моде дает в собственно-энергетическую часть функции Грина  $\Sigma(\omega_n)$  вклад, описываемый диаграммой рис. 10. В отличие от диаграммы рис. 8, здесь сплошным линиям соответствуют одноузельные пропагаторы  $\mathcal{S}_{ii}$ , а точкам — обменные вершины  $\tilde{J}(\mathbf{q})$ . Волнистой линии в этой диаграмме отвечает спиновая функция Грина (16), подчиняющаяся уравнению Ларкина (19). В отсутствие спин-жидкостных корреляций подставим в собственно-энергетическую часть  $\Sigma(\omega_n)$  псевдофермионной функции Грина затравочную функцию  $g_{i\sigma}$  (26) и спиновую функцию  $\mathcal{K}(\varepsilon_m, \mathbf{q})$  в релаксаторной форме:

$$\Sigma(\omega_n) = \tilde{J}^2 T \sum_m N^{-1} \sum_q \varphi(\mathbf{q})^2 \frac{1}{i(\varepsilon_m - \omega_n)} \frac{\Gamma\chi_0(T)}{|\varepsilon_m| + b(q)}, \tag{75}$$

где  $b(q) = \Gamma[\tau + (q l_0)^2]$ , а  $\Gamma$  должна быть найдена самосогласованно из уравнений Дайсона и Ларкина. Вычисляя сумму по частотам в (75) и делая аналитическое продолжение в комплексную плоскость  $z$ , приходим к следующему уравнению для полюсов псевдофермионной функции Грина:

$$z - \Sigma(z) = 0,$$

$$\Sigma(z) = \sum_q \frac{J^2 \varphi^2(\mathbf{q}) \mathcal{A}}{\pi} \frac{z}{z^2 + b_q^2} \left[ \psi\left(-\frac{iz}{2\pi T}\right) - \psi\left(\frac{b_q}{2\pi T}\right) - \frac{\pi T}{b_q} + \frac{i\pi T}{z} \right], \tag{76}$$

где  $\mathcal{A} = \Gamma\chi_0(T)$ , а  $\psi(y)$  — дигамма-функция. Отсюда видно, что псевдофермионная функция Грина имеет в этом приближении вид  $\mathcal{S}_{ii}^R(\omega) \propto [\omega + i\Gamma(T)]^{-1}$ . Подставляя ее в уравнение (74), находим одноузельную восприимчивость



$$K_i^R = \frac{\tilde{\chi}_0}{1 - i\omega/\Gamma}, \quad (77)$$

которая, в свою очередь, подставляется в уравнение Ларкина (вообще говоря, включающее и вершинные поправки [48]), и система уравнений для  $\Gamma$  и  $I_0$  тем самым замыкается.

Спин-жидкостный вклад в поведение спиновых корреляционных функций в критической области может быть учтен путем введения аномальных межзельных вкладов в  $\Sigma(\omega)$  (рис. 10). Нелокальные фермиевские корреляции приведут к появлению новой характерной корреляционной длины, характеризующей ближний порядок, изменяя температурную зависимость статической спиновой восприимчивости и динамических функций отклика. В результате следует ожидать изменения скейлингового поведения и частотно-импульсной зависимости спиновой восприимчивости.

Коэффициент спиновой диффузии также определяется собственно-энергетической частью токового коррелятора [51]:

$$D = \lim_{k \rightarrow 0, \omega \rightarrow 0} \frac{1}{k^2} \frac{\text{Im} \Sigma_{SS}^R(\mathbf{k}, \omega)}{\omega} K_0^{-1}(\mathbf{k}). \quad (78)$$

Поскольку поведение токового коррелятора целиком определяется релаксационными процессами, влияние нелокальных спин-жидкостных корреляций должно привести к изменению скейлинговых характеристик спиновой восприимчивости и в гидродинамической области.

Проведенные в этом разделе вычисления не претендуют на полное описание критических явлений в антиферромагнетике. Они носят скорее иллюстративный характер и имеют целью, во-первых, продемонстрировать применимость предложенной диаграммной техники к традиционным задачам теории магнитных фазовых переходов, а во-вторых, наметить возможные пути учета влияния спин-жидкостных корреляций на антиферромагнитные флуктуации в критической области.

## 6. ЗАКЛЮЧЕНИЕ

В представленной работе продемонстрировано, что состояние спиновой жидкости в решетке Кондо может оказаться более стабильным, чем состояние кондо-синглета, благодаря тем же процессам спинового рассеяния, которые ответственны за экранирование Кондо в случае достаточно сильного антиферромагнитного  $sf$ -обмена. Этот достаточно парадоксальный результат объясняется тем, что сильная конкуренция рассеяния Кондо и спин-жидкостных корреляций возникает при температурах близких к точке Нееля. В результате того что все корреляционные эффекты при этих температурах оказываются одного порядка, простое приближение среднего поля для описания поведения спиновой подсистемы в трехмерной решетке Кондо оказывается практически непригодным.

Предложенная в работе проекционная диаграммная техника, основанная на аналогии гамильтониана Хаббарда для электронов и гамильтониана Гейзенберга для псевдофермионов, в принципе, позволяет выйти за пределы стандартного среднеполевого описания однородной RVB-фазы [6, 16]. Попытка учесть антиферромагнитные флуктуации, не выходя за пределы приближения среднего поля (разд. 4), не приводит к результатам, вызывающим доверие. Однако предварительный анализ [52] показывает, что сформулированная в работе диаграммная техника позволяет отказаться от приближения

среднего поля при описании эффектов, имеющих место в области критических антиферромагнитных флуктуаций, и найти более реалистический сценарий возникновения спиновой жидкости в решетке Кондо.

Исследование спиновой диффузии вблизи температуры Нееля, проведенное в последнем разделе, показывает, что диаграммные методы описания критических антиферромагнитных корреляций при высоких температурах позволяют получить новые физические результаты и в гидродинамической области.

Авторы глубоко признательны Ю. Кагану, Н. В. Прокофьеву, Г. Г. Халиуллину, Д. Е. Хмельницкому и Д. И. Хомскому за полезные обсуждения и критические замечания. Работа выполнена при финансовой поддержке Российского фонда фундаментальных исследований (проект 95-02-04250а), Международной ассоциации INTAS (проект 93-2834) и Голландской организации по поддержке научных исследований NWO (проект 07-30-002).

### ПРИЛОЖЕНИЕ I

При вычислении поляризационного оператора  $\Pi(\mathbf{R})$  (40) мы используем асимптотическую форму функции Грина (41). Подставляя ее в (42), получаем для сферической поверхности Ферми выражение

$$\begin{aligned} \Pi(R, \varepsilon_m) = & T \left( \frac{m}{2\pi R} \right)^2 \exp \left( -\frac{2|\varepsilon_m| R}{v} \right) \frac{\cos(2p_F R + i\varepsilon_m R/v)}{\text{sh}(2\pi T R/v)} + \\ & + T \left( \frac{m}{2\pi R} \right)^2 \exp \left( -\frac{|\varepsilon_m| R}{v} \right) \times \\ & \times \left( \frac{|\varepsilon_m|}{2\pi T} + \frac{\text{sh}(|\varepsilon_m| R/v)}{\text{sh}(2\pi T R/v)} \exp \left( -\frac{|\varepsilon_m| R}{v} + 2ip_F R \text{sign} \varepsilon_m \right) \right). \end{aligned} \quad (\text{П.1.1})$$

В статическом пределе оно сводится к

$$\Pi(R, 0) = T \left( \frac{m}{2\pi R} \right)^2 \frac{\cos(2p_F R)}{\text{sh}(2\pi T R/v)} = \frac{mp_F^4}{8\pi^3} \frac{\cos(2p_F R)}{(p_F R)^3} \left( 1 - \frac{\pi^2}{6} \left( \frac{T}{\varepsilon_F} p_F R \right)^2 + \dots \right), \quad (\text{П.1.2})$$

откуда при  $T = 0$  получаем (45).

В случае цилиндрической квазидвумерной поверхности Ферми

$$\begin{aligned} g(\mathbf{R}, z, \omega_n) &= \int \frac{d^3 p}{(2\pi)^3} \frac{1}{i\omega_n - \xi(\mathbf{p})} \exp(i\mathbf{p}\mathbf{R} + ip_z z) = \\ &= \int_{-p_{z0}}^{p_{z0}} \frac{dp_z}{2\pi} e^{ip_z z} \int \frac{pdpd\varphi}{(2\pi)^2} \frac{1}{i\omega_n - \xi(\mathbf{p})} e^{i\mathbf{p}\mathbf{R}}, \\ g(\mathbf{R}, z, \omega_n) &= \frac{\sin(p_{z0} z)}{\pi z} G(\mathbf{R}, \omega_n). \end{aligned} \quad (\text{П.1.3})$$

Для  $p_{z0} \gg p_F$  эффективное РККИ-взаимодействие не зависит от  $p_{z0}$ ,

$$\begin{aligned}
 J_{RKKY}(\mathbf{R}) &= \left(\frac{J}{\tilde{n}_0}\right)^2 \Pi(\mathbf{R}, 0) = \left(\frac{J}{\tilde{n}_0}\right)^2 \int \frac{d\omega}{2\pi} g^2(\mathbf{R}, \omega) = \\
 &= \left(\frac{J}{n_0}\right)^2 \int \frac{d\omega}{2\pi} G^2(\mathbf{R}, \omega).
 \end{aligned}
 \tag{П.1.4}$$

Здесь  $\tilde{n}_0 = 4\pi p_F^2 p_{z0} / (2\pi)^3 = p_{z0} p_F^2 / 2\pi^2 = p_{z0} n_0 / \pi$ ,  $n_0 = p_F^2 / 2\pi$  — двумерная плотность электронных состояний и  $G(R, \omega_n)$  — двумерная функция Грина ( $R = \sqrt{R_x^2 + R_y^2}$ ),

$$G(R, \omega_n) = \int \frac{pdp d\varphi}{(2\pi)^2} \frac{1}{i\omega_n - \xi(\mathbf{p})} \exp(ipR \cos \varphi).
 \tag{П.1.5}$$

Воспользовавшись интегральным представлением функции Бесселя

$$J_0(z) = \frac{1}{2\pi} \int_0^{2\pi} d\varphi \exp(iz \cos \varphi)
 \tag{П.1.6}$$

в асимптотическом пределе для больших  $|z|$ :

$$J_0(z) \approx \sqrt{\frac{2}{z\pi}} \cos\left(z - \frac{\pi}{4}\right),
 \tag{П.1.7}$$

получаем

$$G(R, \omega_n) = -i \operatorname{sign} \omega_n \frac{m}{\sqrt{2\pi p_F R}} \exp\left(-\frac{|\omega_n|}{2\varepsilon_F} p_F R + i\left(p_F R - \frac{\pi}{4}\right) \operatorname{sign} \omega_n\right).
 \tag{П.1.8}$$

Подставив это выражение в (П.1.4), получаем

$$\begin{aligned}
 \Pi(R, \varepsilon_m) &= -T \frac{m^2}{2\pi p_F R} \exp\left(-\frac{2|\varepsilon_m|}{v} R\right) \frac{\sin(2p_F R + i\varepsilon_m R/v)}{\operatorname{sh}(2\pi T R/v)} - \\
 &- T \frac{m^2}{2\pi p_F R} \exp\left(-\frac{|\varepsilon_m|}{v} R\right) \times \\
 &\times \left(\frac{|\varepsilon_m|}{2\pi T} - \frac{\operatorname{sh}(|\varepsilon_m| R/v)}{\operatorname{sh}(2\pi T R/v)} \exp\left(-\frac{|\varepsilon_m|}{v} R + 2i\left(p_F R - \frac{\pi}{4}\right) \operatorname{sign} \varepsilon_m\right)\right).
 \end{aligned}
 \tag{П.1.9}$$

В пределе низких температур это выражение переходит в

$$\begin{aligned}
 \Pi(R, 0) &= -T \frac{m^2}{2\pi p_F R} \frac{\sin(2p_F R)}{\operatorname{sh}(2\pi T R/v)} = \\
 &= -\frac{m p_F^2}{4\pi^2} \frac{\sin(2p_F R)}{(p_F R)^2} \left(1 - \frac{\pi^2}{6} \left(\frac{T}{\varepsilon_F} p_F R\right)^2 + \dots\right),
 \end{aligned}
 \tag{П.1.10}$$

а при  $T = 0$  — в выражение (47).

ПРИЛОЖЕНИЕ II

Усиление обменного РККИ-взаимодействия, связанное с кондовской перенормировкой одноузельной  $sf$ -обменной вершины, учтенной в логарифмическом приближении,

$$\Gamma(\varepsilon, \alpha) = \frac{1}{(1 + 2\alpha \ln(\varepsilon/\varepsilon_F))^2} \tag{П.И.1}$$

описывается выражением

$$f\left(p_F R, \alpha, \frac{T}{\varepsilon_F}\right) = \int_{T/\varepsilon_F}^{\infty} \frac{\exp(-p_F R x) dx}{(1 + 2\alpha \ln(x))^2}. \tag{П.И.2}$$

Температурный ход этого интеграла определяется как параметром Доньяха  $\alpha$ , так и расстоянием между соседними кондо-центрами (параметром  $p_F R$ ).

Если пренебречь логарифмической перенормировкой (П.И.1), интеграл (П.И.2) при  $T \ll \varepsilon_F$  равен  $1/(p_F R)$ , и интеграл (44) сводится к обычной формуле РККИ (45). При учете процессов Кондо функция  $f$  (П.И.1) в интересующем нас интервале температур  $[T_K, 3T_K]$  может быть представлена приближенным выражением

$$f\left(p_F R, \alpha, \frac{T}{\varepsilon_F}\right) \approx \frac{1}{p_F R} \frac{1}{(1 - 2\alpha \ln(T/\varepsilon_F))^{n(p_F R, \alpha)}}, \tag{П.И.3}$$

где показатель  $n = n(p_F R, \alpha)$  не зависит от температуры. В результате высокотемпературное поведение РККИ-взаимодействия определяется функцией  $\tilde{f}(p_F R, \alpha, T/\varepsilon_F) = f(p_F R, \alpha, T/\varepsilon_F)p_F R$ , которая приближенно представляется в виде

$$\tilde{f}\left(p_F R, \alpha, \frac{T}{\varepsilon_F}\right) \approx \frac{1}{(1 + 2\alpha \ln(T/\varepsilon_F))^{n(p_F R, \alpha)}}. \tag{П.И.4}$$

На рис. 11 представлены температурные зависимости точной функции  $\tilde{f}(p_F R = 5.0, \alpha = 0.09)$ , найденной численно (сплошная линия), и приближенной функции  $\tilde{f}(p_F R = 5.0, \alpha = 0.09)$  (пунктирная линия) в интервале температур  $T_K < T < 3T_K$ . Показатель степени  $n = n(p_F R, \alpha)$  приближенной функции (П.И.4) показан на врезке как функция параметра  $p_F R$  в интервале  $2 < p_F R < 8$  для нескольких значений  $\alpha$  в интервале  $0.04 < \alpha < 0.165$ . Показатель находился по методу наименьших квадратов в интервале температур  $1.2T_K < T < 3T_K$ .

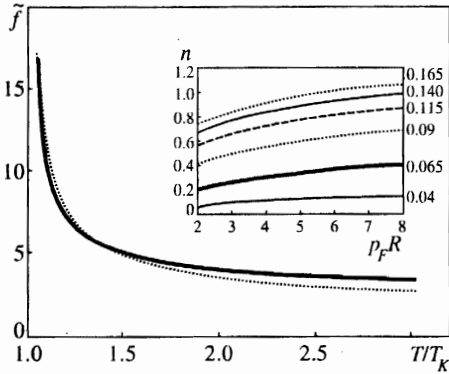


Рис. 11. Численные значения интеграла  $\tilde{f}(p_F R)$  (сплошная линия) и аппроксимирующей функции  $f(p_F R)$  (см. текст)

ПРИЛОЖЕНИЕ III

В этом приложении вычисляется параметр  $\Upsilon$  (70), характеризующий влияние спиновых корреляций на температуру перехода в RVB-фазу для случая простой кубической решетки с анизотропным РККИ-взаимодействием, вызванным, например, несферичностью поверхности Ферми. Введем  $J_{\parallel} \equiv J_x = J_y$ ,  $J_{\perp} \equiv J_z$ . Тогда в выражение (57) для спинового коррелятора  $K_0(\mathbf{q}, \gamma)$  следует подставить величину

$$j_{\mathbf{q}} \equiv J_{\mathbf{q}}/|J_{\mathbf{Q}}| = -j_{\parallel}(\varphi_{\parallel} + \gamma\varphi_{\perp}), \tag{П. III.1}$$

где  $\varphi_{\parallel}(\mathbf{q}) = 2(\cos q_x + \cos q_y)$ ,  $\varphi_{\perp}(\mathbf{q}) = 2 \cos q_z$ , а  $j_{\parallel} = J_{\parallel}/J_{\mathbf{Q}}$  ( $a = 1$ ). Для вычисления входящих в выражение (65) сумм вида

$$T \sum_{\mathbf{q}} \varphi_{\mathbf{u}}(\mathbf{p} - \mathbf{q}) K_0(\mathbf{q}, \gamma) = \frac{S(S+1)T}{6T_N j_0} \sum_{\mathbf{q}} \frac{\varphi_{\mathbf{u}}(\mathbf{p} - \mathbf{q})}{T/T_N j_0 - j_{\mathbf{q}}/j_0} \tag{П. III.2}$$

воспользуемся интегральным представлением для спинового коррелятора

$$K_0(\mathbf{q}, \gamma) = \frac{S(S+1)j_{\mathbf{q}}}{6T_N j_0} \int_0^{\infty} dt \exp \left\{ - \left( \frac{T}{T_N j_0} - \frac{j_{\mathbf{q}}}{j_0} \right) t \right\}. \tag{П. III.3}$$

В случае, когда взаимодействие в базисной плоскости преобладает ( $\gamma < 1$ ), закон дисперсии спин-жидкостных возбуждений приобретает вид

$$\tilde{\epsilon}_{\mathbf{p}}^{\parallel} \left( \frac{T}{T_N}, \gamma \right) = \frac{1}{2} J_{\parallel} \Delta_{\parallel} \left[ 1 - (2 + \gamma) \frac{T}{T_N} A \left( \gamma, \frac{T}{T_N} \right) \right] \varphi_{\parallel}(\mathbf{q}), \tag{П. III.4}$$

где функции  $A(\gamma, T/T_N)$  выражаются через интегралы от функций Бесселя:

$$A(\gamma, \tau) = \int_0^{\infty} dt \exp \{ -(2 + \gamma)(1 + \tau)t \} I_1(t) I_0(t) I_0(\gamma t). \tag{П. III.5}$$

Учитывая, что для простой кубической решетки  $\theta_{\parallel}^{(0)} = \theta_{\perp}^{(0)} = 1$ , получим

$$\Upsilon_{\parallel}(\gamma, T_u^{*(0)}/T_N) = [1 - (2 + \gamma)(1 + \tau)A(\gamma, \tau)]^2 / 4. \tag{П. III.6}$$

В случае, когда преобладает взаимодействие перпендикулярно базисной плоскости ( $\tilde{\gamma} < 1$ ), вместо выражений (П.III.4)–(П.III.6) имеем

$$\tilde{\epsilon}_p^\perp \left( \frac{T}{T_N}, \gamma \right) = J_\perp \Delta_\perp \left[ 1 - (1 + 2\tilde{\gamma}) \frac{T}{T_N} \tilde{A} \left( \gamma, \frac{T}{T_N} \right) \right] \cos p_z, \quad (\text{П.III.4}')$$

$$\tilde{A}(\tilde{\gamma}, \tau) = \int_0^\infty dt \exp \{ -(1 + 2\tilde{\gamma})(1 + \tau)t \} I_1(t) I_0^2(\tilde{\gamma}t), \quad (\text{П.III.5}')$$

$$\gamma_\perp(\tilde{\gamma}, T_u^{*(0)}/T_N) = \left[ 1 - (1 + 2\tilde{\gamma})(1 + \tau) \tilde{A}(\tilde{\gamma}, \tau) \right]^2 / 4. \quad (\text{П.III.6}')$$

Используя асимптотическое разложение интегралов

$$A(\gamma, \tau)|_{\gamma, \tau \rightarrow 0} \propto -\ln \max(\gamma, \tau), \quad \tilde{A}(\tilde{\gamma}, \tau)|_{\tilde{\gamma}, \tau \rightarrow 0} \propto [\max(\tilde{\gamma}, \tau)]^{-1/2},$$

находим, что в окрестности  $T_N$  при сильных анизотропиях

$$\gamma_\parallel(\gamma, T_u^{*(0)}/T_N) \propto -\ln \max(\gamma, \tau), \quad (\text{П.III.7})$$

$$\gamma_\perp(\tilde{\gamma}, T_u^{*(0)}/T_N) \propto [\max(\tilde{\gamma}, \tau)]^{-1/2}, \quad (\text{П.III.8})$$

и в результате сильные спиновые флуктуации способствуют возникновению спиновой жидкости.

## Литература

1. G. Zwicknagl, *Adv. Phys.* **41**, 203, (1992).
2. A. C. Hewson, *The Kondo Problem to Heavy Fermions*, Cambridge University Press, Cambridge (1993).
3. S. Doniach, *Physica B* **91** 231 (1977).
4. F. J. Ohkawa, *Progr. Theor. Phys. Suppl.* № 108, 209 (1992).
5. Y. Kuramoto and K. Miyake, *Theor. Phys. Suppl.* № 108, 199 (1992).
6. P. Coleman and N. Andrei, *J. Phys.: Cond. Matt.* **1**, 4057 (1989).
7. J. A. Millis and P. A. Lee, *Phys. Rev. B* **35**, 3394 (1987).
8. Yu. Kagan, K. A. Kikoin, and N. V. Prokof'ev, *Physica B* **182**, 201 (1992).
9. J. Gan, P. Coleman, and N. Andrei, *Phys. Lett.* **68**, 3476 (1992).
10. A. A. Abrikosov, *Physics* **2**, 21 (1965).
11. I. Affleck and J. B. Marston, *Phys. Rev. B* **37**, 3774 (1988).
12. I. Affleck, Z. Zou, T. Hsu, and P. W. Anderson, *Phys. Rev. B* **38**, 745 (1988).
13. L. B. Ioffe and A. I. Larkin, *Phys. Rev. B* **39**, 8988 (1989).
14. P. A. Lee and N. Nagaosa, *Phys. Rev. B* **46**, 5621 (1992).
15. S. Elitzur, *Phys. Rev. D* **12**, 3978 (1975).
16. G. Baskaran, Z. Zou, and P. W. Anderson, *Solid State Comm.* **63**, 973 (1987).
17. A. Ruckenstein, P. Hirschfeld, and J. Appel, *Phys. Rev. B* **36**, 857 (1987).
18. K. A. Kikoin, M. N. Kiselev, and A. S. Mishchenko, *JETP Lett.* **60**, 358 (1994).
19. Ю. А. Изюмов, Ю. Н. Скрябин, *Статистическая механика магнитоупорядоченных систем*, Наука, Москва (1987).

20. В. Г. Барьяхтар, В. Н. Криворучко, Д. А. Яблонский, *Функции Грина в теории магнетизма*, Наук. думка, Киев (1984).
21. H. Keiter and G. Morandi, *Phys. Reports* **109**, 227 (1984).
22. F. Onufrieva and J. Rossat-Mignod, *Phys. Rev. B* **52**, 7572 (1995).
23. D. C. Mattis, *The Theory of Magnetism*, Harper and Row, N. Y. (1965) (пер.: Д. Маттис, *Теория магнетизма*, Мир, Москва (1967)).
24. W. W. Lewis and R. B. Stinchcombe, *Proc. Phys. Soc.* **92**, 1002 (1967).
25. S. E. Barnes, *J. Phys. F* **6**, 1375 (1976).
26. G. Kotliar and A. E. Ruckenstein, *Phys. Rev. Lett.* **57**, 1362 (1986).
27. P. Coleman, E. Miranda, and A. M. Tsvelik, *Phys. Rev. Lett.* **70**, 2960 (1993).
28. X-G. Wen and P. A. Lee, *Phys. Rev. Lett.* **76**, 503 (1996).
29. Y. Ono, T. Matsuura, and Y. Kuroda, *Physica C* **159**, 878 (1989).
30. J. Hubbard, *Proc. Roy. Soc. A* **285**, 542 (1965).
31. Р. О. Зайцев, *ЖЭТФ* **70**, 1100 (1976).
32. T. Yanagisawa, *Phys. Rev. B* **40**, 6666 (1989).
33. J. Brinckmann, *Europhys. Lett.* **28**, 187 (1994).
34. А. И. Ларкин, *ЖЭТФ* **37**, 264 (1959).
35. K. Kuboku, *J. Phys. Soc. Jap.* **62**, 420 (1993).
36. C. Mudry and E. Fradkin, *Phys. Rev. B* **49**, 5200 (1994).
37. D. R. Grempel and M. Lavagna, *Solid State Comm.* **83**, 595 (1992).
38. T. Tanamoto, H. Kohno, and H. Fukuyama, *J. Phys. Soc. Jap.* **62**, 617 (1993).
39. I. S. Sandalov and M. Richter, *Phys. Rev. B* **50**, 12855 (1994).
40. P. W. Anderson, *Mater. Res. Bull.* **8**, 153 (1973).
41. C. M. Varma, in *Theory of Heavy Fermions and Valence Fluctuations*, Springer Series in Solid-State Sciences, ed. by T. Kasuya and T. Saso, V. 62, Springer-Verlag, Berlin (1985), p. 277.
42. K. Yosida and A. Okiji, *Progr. Theor. Phys.* **34**, 505 (1965).
43. A. A. Abrikosov and A. A. Migdal, *J. Low Temp. Phys.* **3**, 519 (1970).
44. A. M. Tsvelik and P. B. Wiegmann, *Adv. Phys.* **32**, 453 (1983).
45. K. Miura, T. Ono, and K. Kuboku, *Physica C* **179**, 411 (1991).
46. F. Nozieres, *Ann. de Phys. (Fr)* **10**, 1 (1985).
47. K. A. Kikoin, *J. Phys.: Cond. Matt.* **8**, 3601 (1996).
48. A. Chubukov, *Phys. Rev. B* **44**, 392 (1991).
49. B. I. Halperin and P. C. Hohenberg, *Rev. Mod. Phys.* **49**, 435 (1977).
50. S. Chakraverty, B. I. Halperin, and D. Nelson, *Phys. Rev. B* **39**, 2344 (1989).
51. S. V. Maleyev, *Sov. Sci. Rev. A* ed. by I. M. Khalatnikov, Harwood Press, New York (1987), Vol. 8, p. 323.
52. K. A. Kikoin, M. N. Kiselev, and A. S. Mishchenko, Preprint cond-matt/9608121.